

LHC実験における8TeVでのSUSY探索 および14TeVへの展望

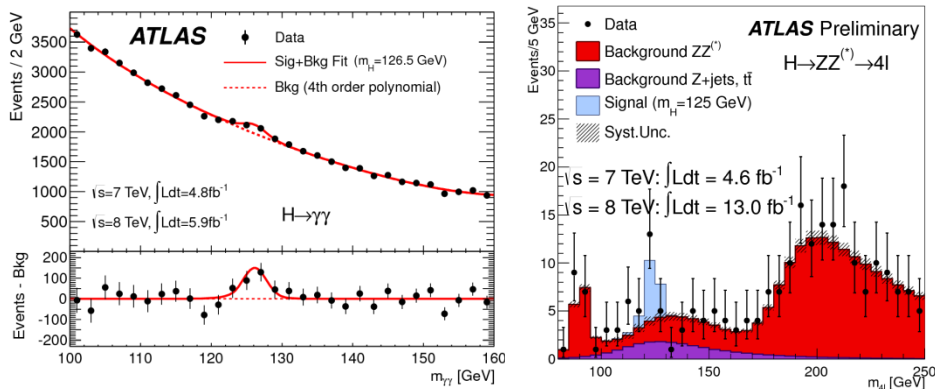


山中 隆志
東京大学 素粒子センター



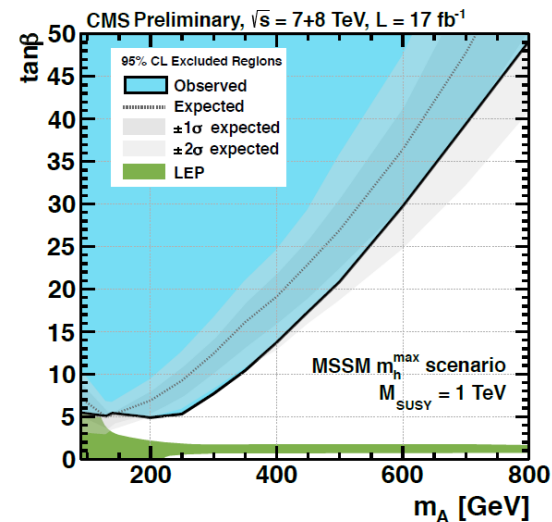
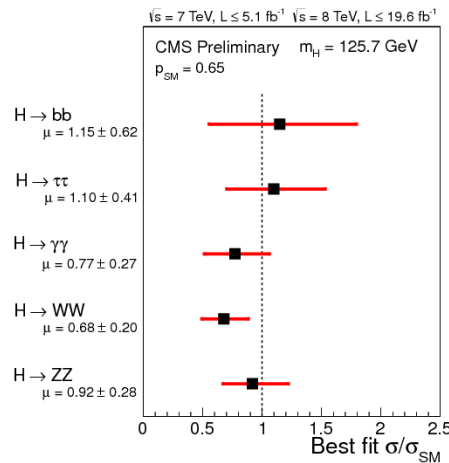
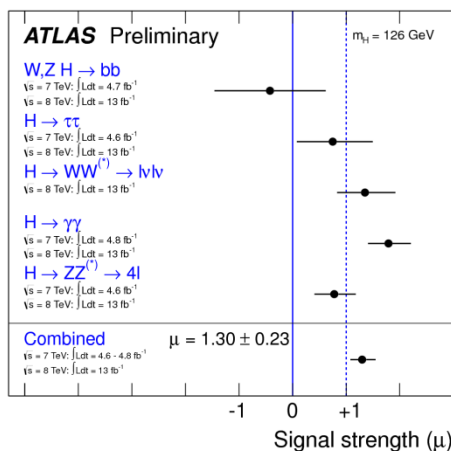
Discovery of a Higgs Boson

• LHC Run1のハイライト



ヒッグス粒子(らしきもの)
を $m=126$ GeVに発見!

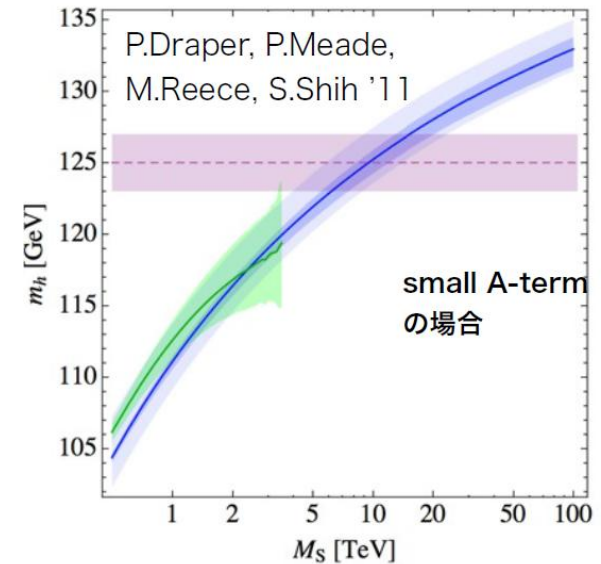
見えている粒子はSM Higgsにほぼconsistent



しかし、その他の
Higgs particle
に関する示唆は
今のところ無い
← MSSM
Higgs exclusion
limit

126 GeV Higgs for SUSY

- ヒッグス粒子126 GeVをnaïveに考えると、SUSYのmass scaleは ~ 10 TeV
 - LHC $\sqrt{s}=14$ TeVでは不可能 ($m \sim g, m \sim q < 2.5$ TeV)
 - HE LHC ($\sqrt{s} \sim 33$ TeV)
 - でも不可能 ~ 6 TeV
 - VHE LHC ($\sqrt{s}=100$ TeV)なら可能か?



その場合、14TeV LHCでの探索は可能か？

Naturalness?

Yes

No → squark mass ~ 10 TeV?

stop search

stop mass < 1 TeV

gluino mass < 2.5 TeV

Yes

No

gluino search

EW gaugino mass < 1 TeV

Yes

No

EW gaugino search

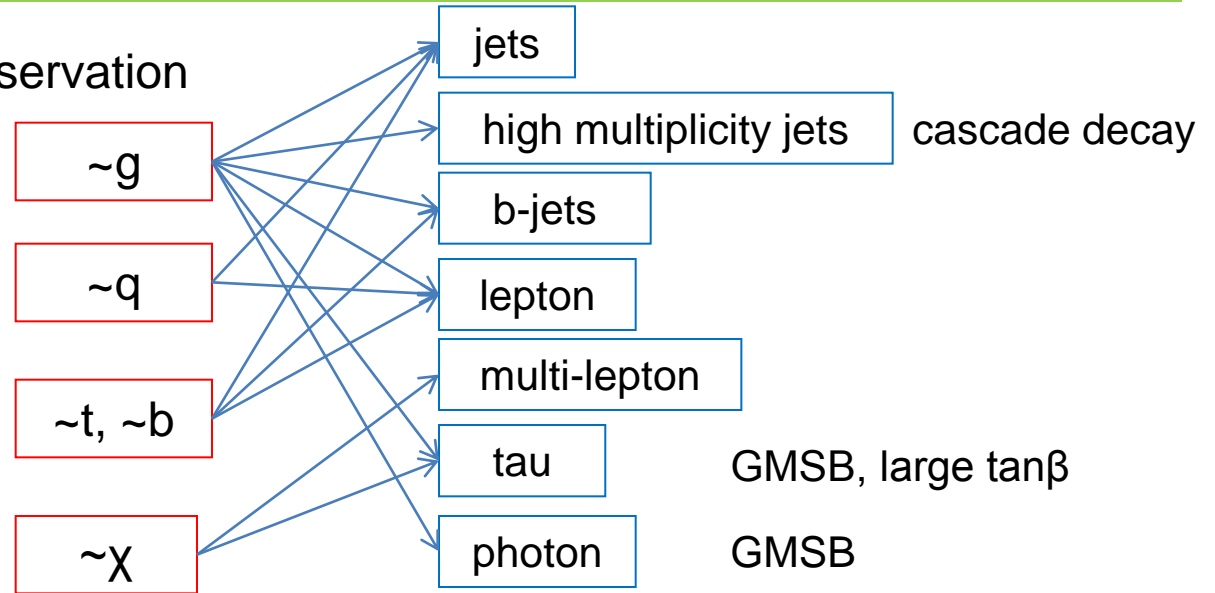
その他

Strategy for SUSY Search

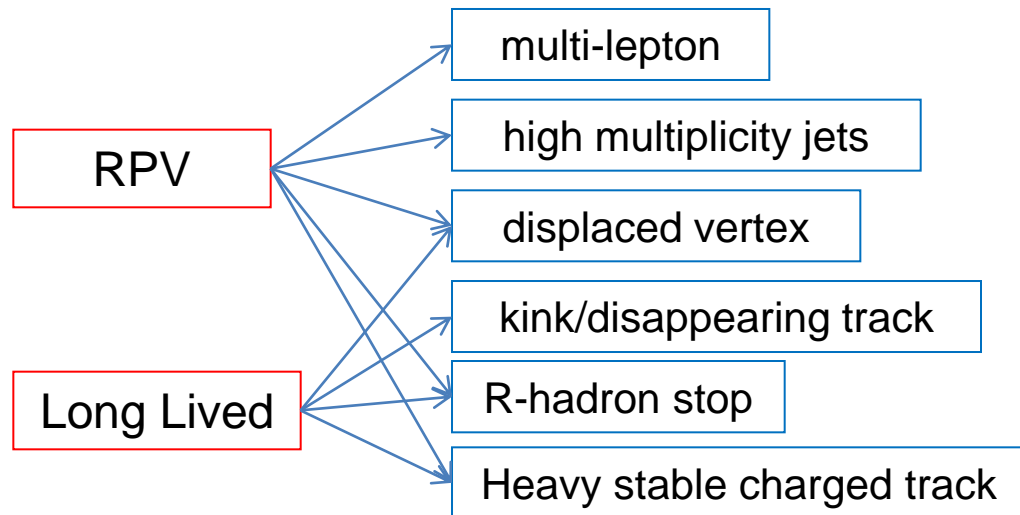
RP Conservation

topologyごとに分けて解析→
model independentに広く
cover

MET



without MET

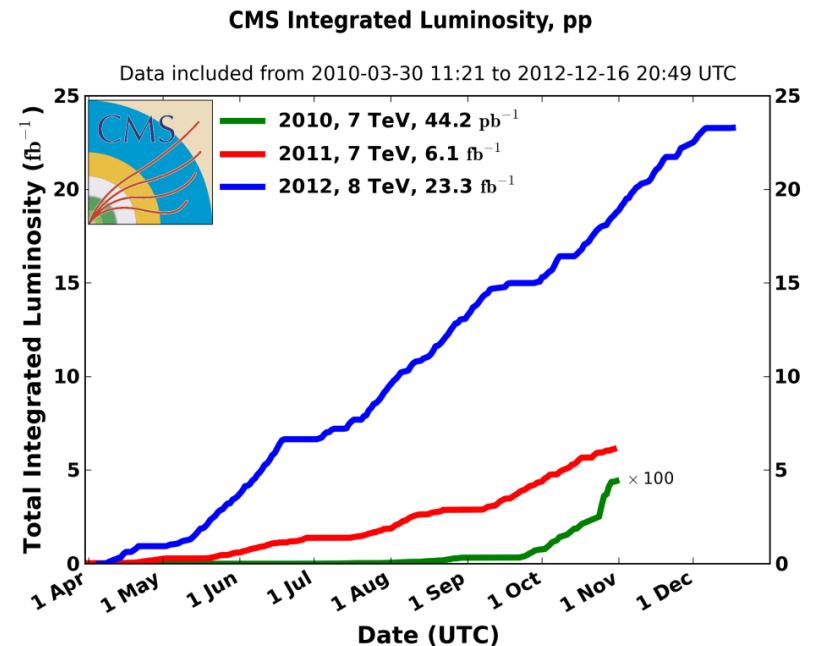
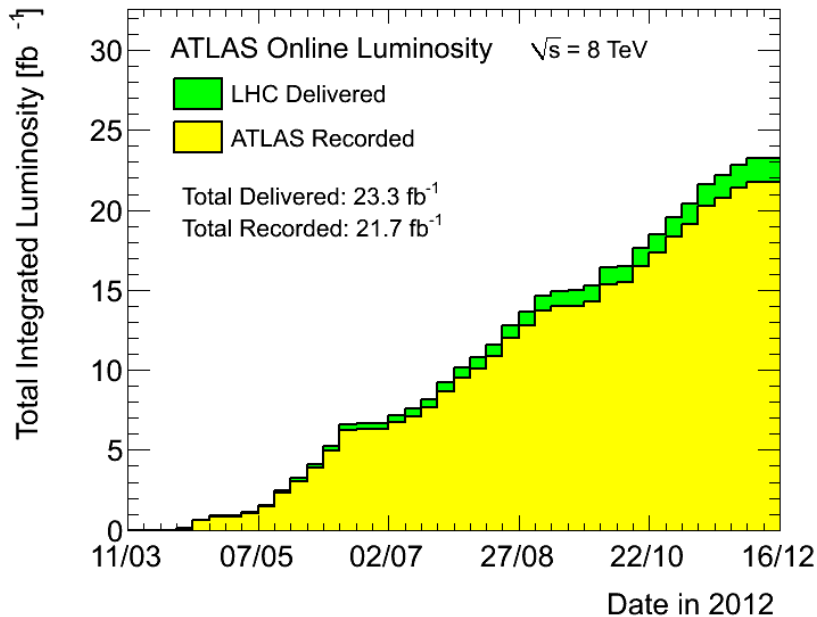


Contents

- 2012年のLHC運転状況
- $\sqrt{s}=8$ TeVでのSUSY探索
 - MET-based Analysis
 - gluino (squark) search
 - stop search
 - Gluino mediated stop
 - EW gaugino search
 - Without MET Analysis
 - Long lived particle
 - Exotic signature
- $\sqrt{s}=14$ TeVでのSUSY探索
- まとめ

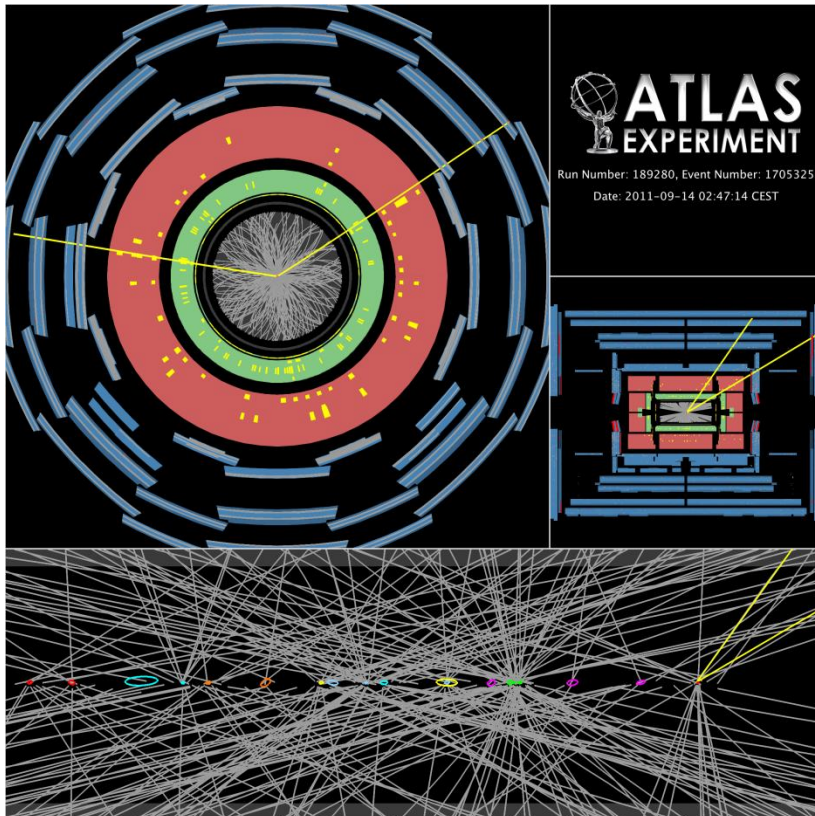
LHC 2012

- 2012年には $\sqrt{s}=8$ TeVで、約20/fbのデータを取得
 - 高い効率で取得 (Recorded/Delivered=93% at ATLAS)
 - また、高い効率で検出器がGood condition (Good/Recorded>96% at ATLAS)

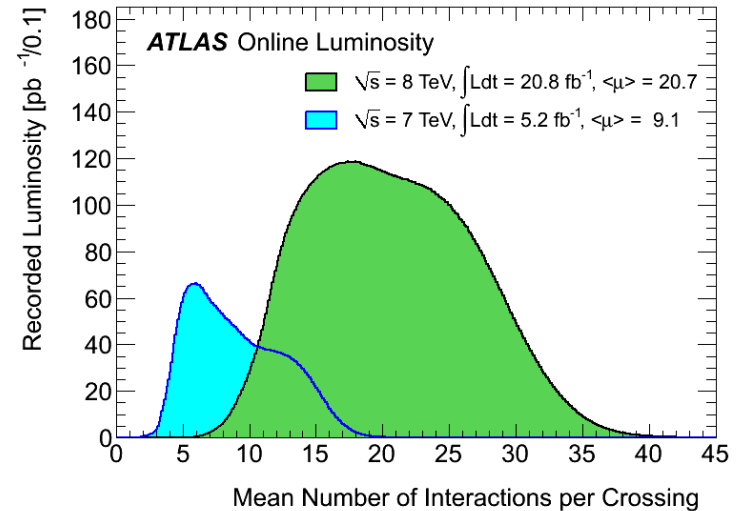


Pileup

- Pileupへの対処が重要



Z $\rightarrow\mu\mu$ with 20 pileup event ($p_T > 0.4$ GeV tracks are shown, yellow lines show muons from Z)



1衝突あたりのPileup数の分布

Pileupへの対処

online trigger

- electron: calorimeter isolation, hadronic leakage

offline analysis

- jet, MET: pileup subtraction, vertex association
- Monte Carlo: pileup reweighting

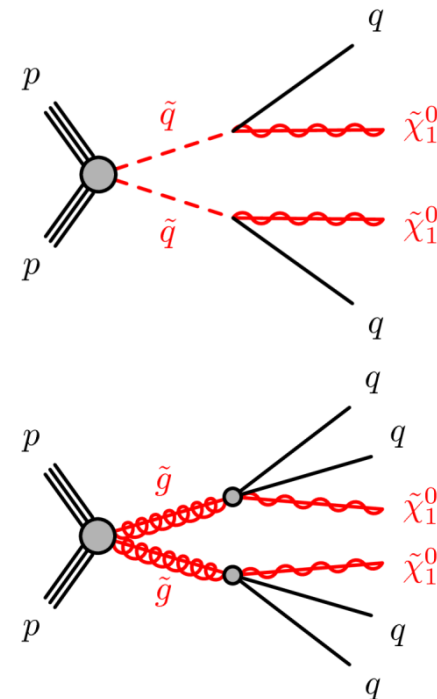
MET-based Analysis

Gluino/Squark Search

- $\sim q\bar{q}$ から $\sim g\bar{g}$ まで広く topology を cover するために、jet 数ごとに signal region を設定 (2-6 jets)
- 更に m_{eff} (=MET+jet pt sum) の selection を各 jet 数ごとに数個に分けることにより、広い kinematics region を cover

Requirement	Channel									
	A (2-jets)		B (3-jets)		C (4-jets)		D (5-jets)	E (6-jets)		
	L	M	M	T	M	T	-	L	M	T
$E_T^{\text{miss}} [\text{GeV}] >$	160									
$p_T(j_1) [\text{GeV}] >$	130									
$p_T(j_2) [\text{GeV}] >$	60									
$p_T(j_3) [\text{GeV}] >$	-		60		60		60		60	
$p_T(j_4) [\text{GeV}] >$	-		-		60		60		60	
$p_T(j_5) [\text{GeV}] >$	-		-		-		60		60	
$p_T(j_6) [\text{GeV}] >$	-		-		-		-		60	
$\Delta\phi(\text{jet}_i, E_T^{\text{miss}})_{\text{min}} >$	0.4 ($i = \{1, 2, (3 \text{ if } p_T(j_3) > 40 \text{ GeV})\}$)				0.4 ($i = \{1, 2, 3\}$), 0.2 ($p_T > 40 \text{ GeV jets}$)					
$E_T^{\text{miss}}/m_{\text{eff}}(N_j) >$	0.2	- ^a	0.3	0.4	0.25	0.25	0.2	0.15	0.2	0.25
$m_{\text{eff}}(\text{incl.}) [\text{GeV}] >$	1000	1600	1800	2200	1200	2200	1600	1000	1200	1500

(a) For SR A-medium the cut on $E_T^{\text{miss}}/m_{\text{eff}}(N_j)$ is replaced by a requirement $E_T^{\text{miss}}/\sqrt{H_T} > 15 \text{ GeV}^{1/2}$.

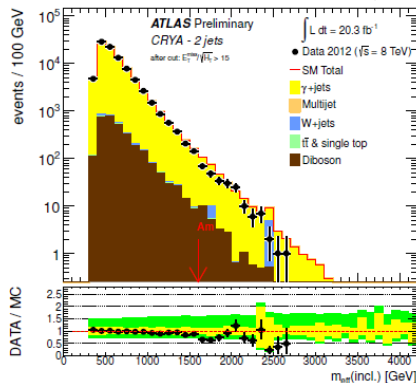


Gluino/Squark Search at ATLAS

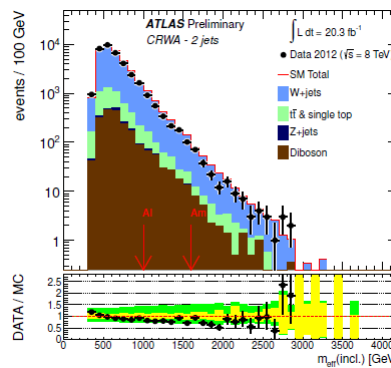
Background estimation

- 各backgroundをenhanceするように取られたcontrol regionからsignal regionへのtransfer factorをMC sampleでestimate
- control regionでMCをdataにfitし、transfer factorを使い、signal regionでのbackgroundをestimate

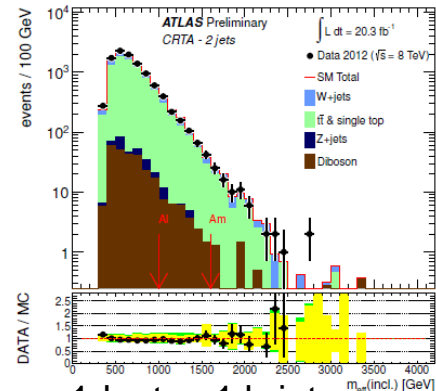
2jets CRの場合



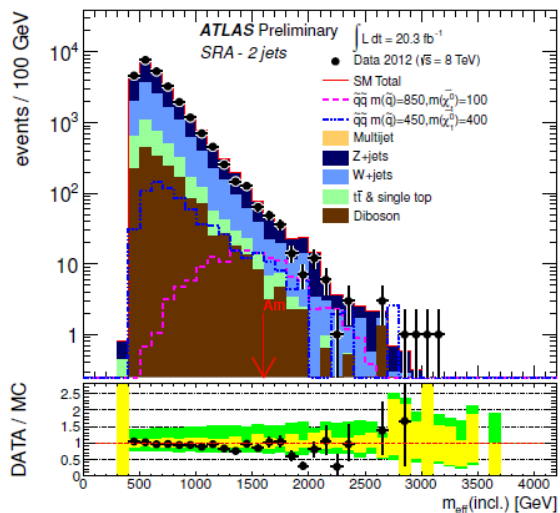
1-photon ($Z \rightarrow \nu\nu + \text{jets}$)
のestimation)



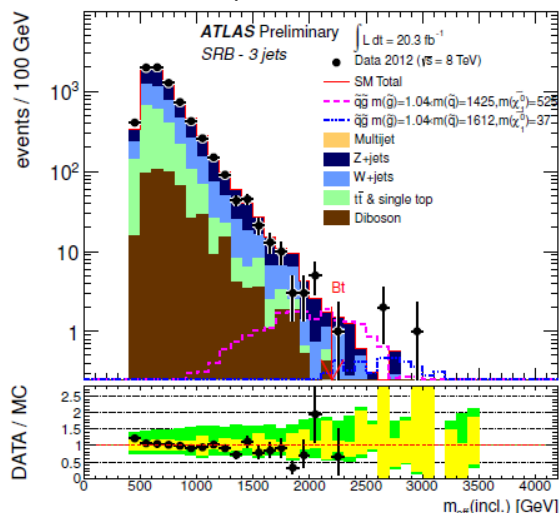
1-lepton b-jet veto
($W \rightarrow l\nu + \text{jets}$ CR)



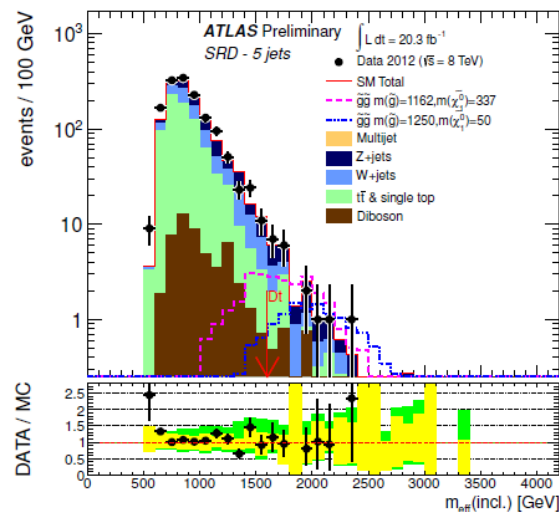
1-lepton 1 b-jet
($t\bar{t}$ CR)



2jets



3jets

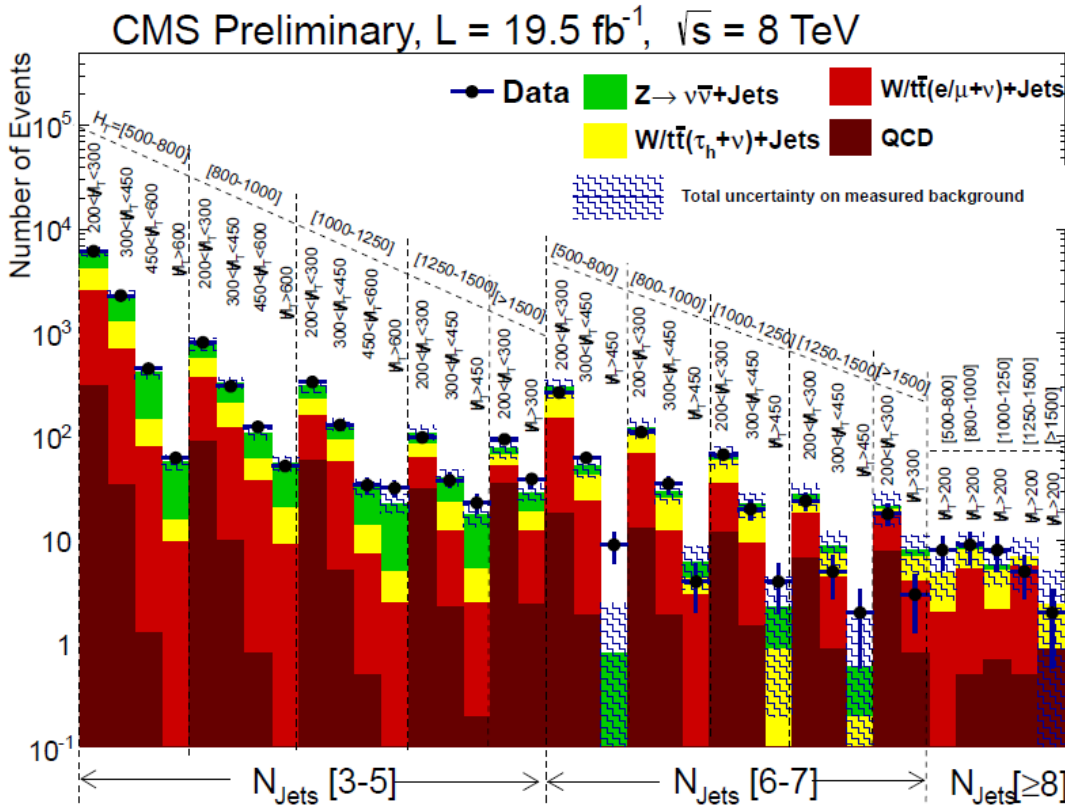


5jets

各signal regionでの m_{eff} 分布

Gluino/Squark Search at CMS

- CMSも基本的な解析方針は同じ



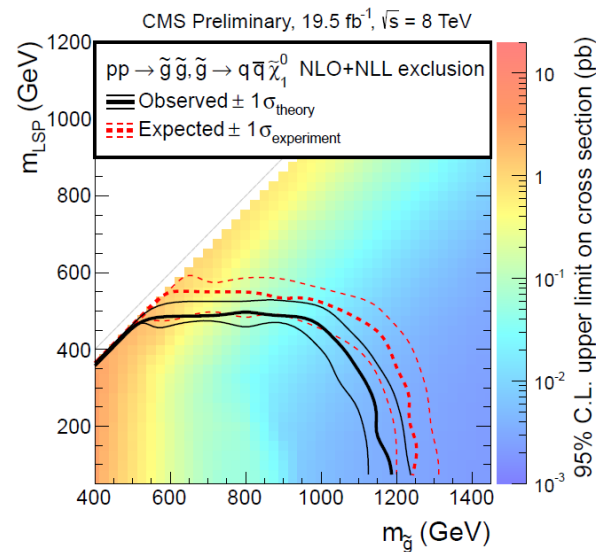
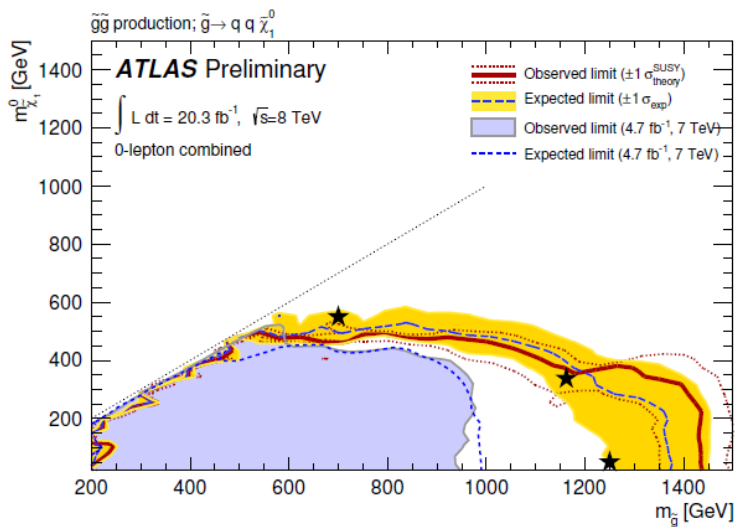
- Number of jetsごとに signal regionを分ける
- 各Njet regionをさらにHT (=jet pt sum)とMETの2次元で分けることにより、広い kinematics regionをcover

Background estimationはほぼ data-driven

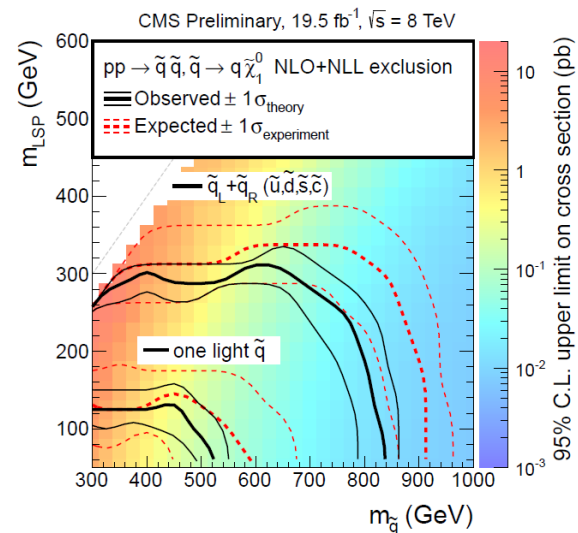
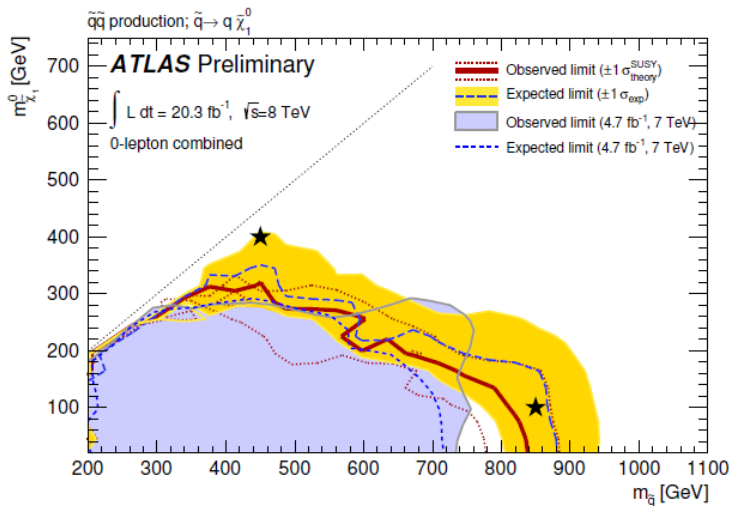
- QCD: jet resolution smearing
- $W \rightarrow \tau\nu$ (hadronic)+jets: μ +jets replacement
- $W \rightarrow e/\mu\nu$ +jets: lepton ID inversion
- $Z \rightarrow \nu\nu$ +jets: γ +jets replacement

Results

$\sim g\sim g$ production



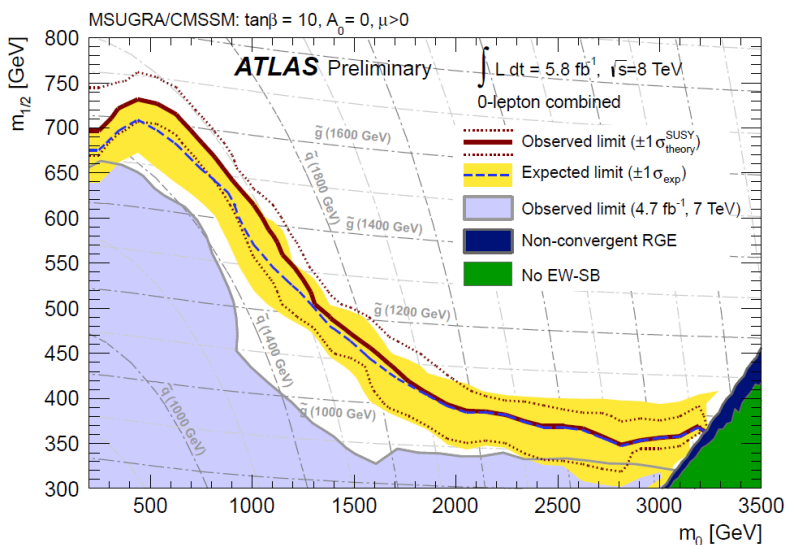
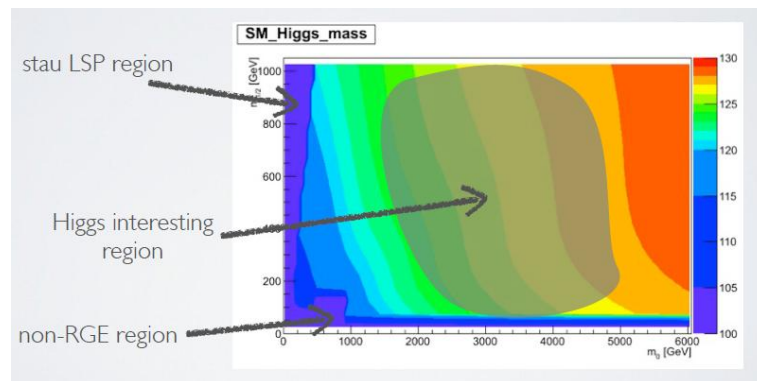
$\sim q\sim q$ production



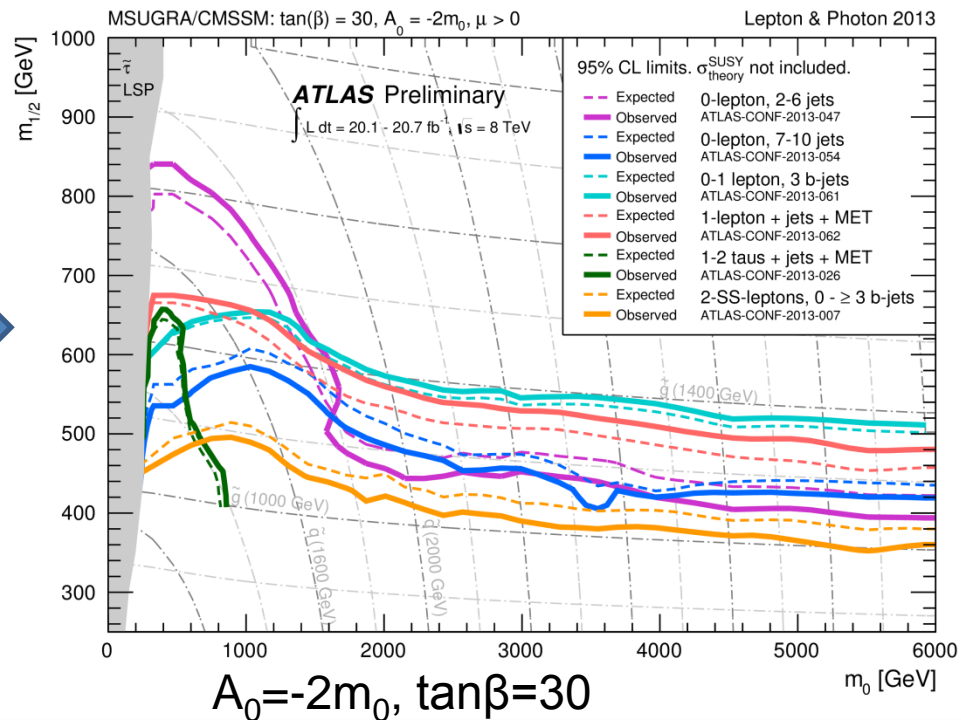


Gluino/Squark (Higgs Aware CMSSM)

- もはやHiggs 126 GeVを説明しないmodelはnon-sense
- $|A_0|$ をほぼstopのmaximal mixingを満たすよう取り、Higgs massにconsistentに調整したmodelでのinterpretation.

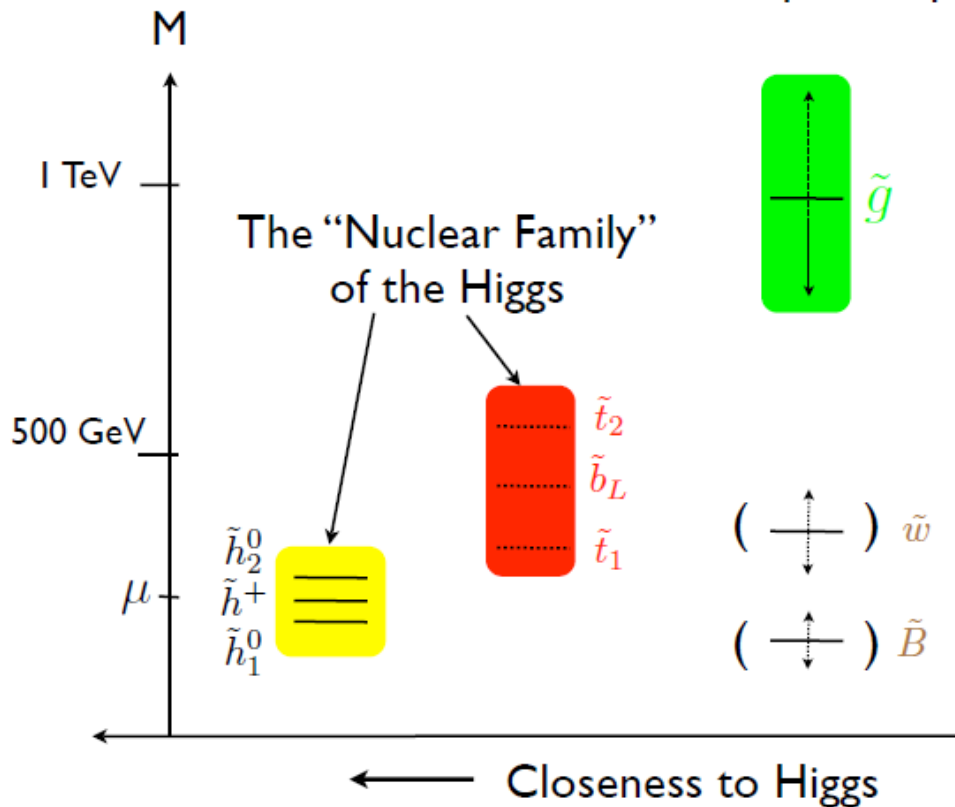


$A_0=0, \tan\beta=10$



$A_0=-2m_0, \tan\beta=30$

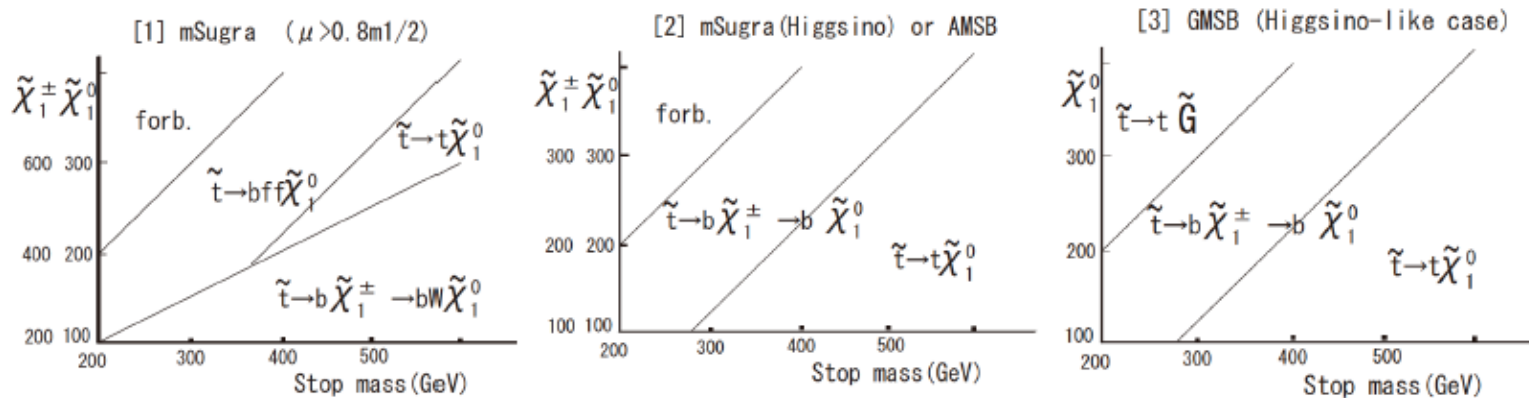
Naturalness



- 比較的stop (and sbottom) が軽いのでdirect productionが可能
- gluinoも比較的軽いことが期待され、そのdecay modeではstop (top)へが優勢になる
- Higgsinoも同様に軽いことが期待される

Stop Signature

- Stop pair productionからの崩壊過程でもmodel (parameter)によってkinematicsが大きく異なる。



主にchargino/neutralinoのmass relationおよびwino/bino/higgsino compositionにより崩壊過程が変わる。

→ Topology baseで解析することによりmodel independentにcover

	0-lep 6-jets	1-lep 4-jets	2-lep 2-jets	0-lep 2-jets	2/3-lep (Z) 3-jets
t+N1	○	○	△		
b+C1	△	○	○	○	
b+W+N1	△	○	○		
c+N1				○ (c-tag)	
b+f+f'+N1	△	○ (?)		○ (?)	
b+C1/t+N1 (GMSB)	△				○

△: 可能なfinal stateだがsensitivityは低い
(?): まだ Background study 中

1-lepton Analysis

- 1-lepton channel: W, WからのBRが比較的大きく、triggerによるlossも少ない → 縮退したmodelからhigh METのtailまで広くcoverできる

Pre-selection

- 1-electron ($p_T > 30 \text{ GeV}$) or 1-muon ($p_T > 25 \text{ GeV}$)
- At least 4-jets $p_T > 30 \text{ GeV}$
- At least 1 b-tagged jet
- $\text{MET} > 100 \text{ GeV}$
- $M_T > 120 \text{ GeV}$

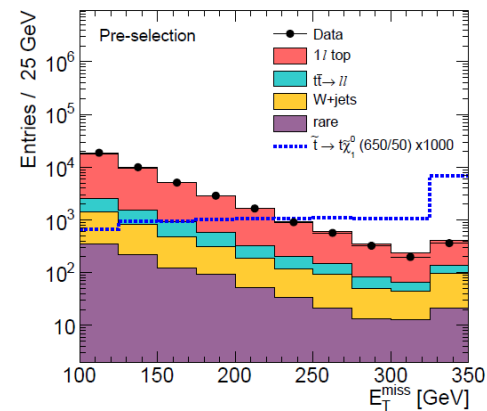
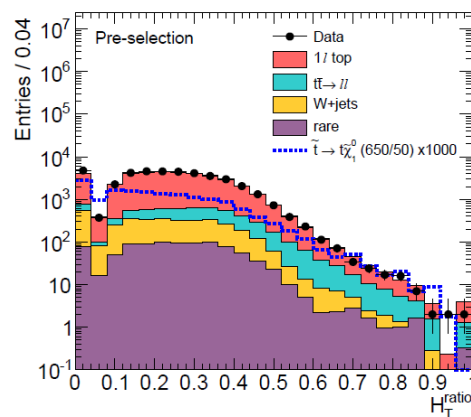
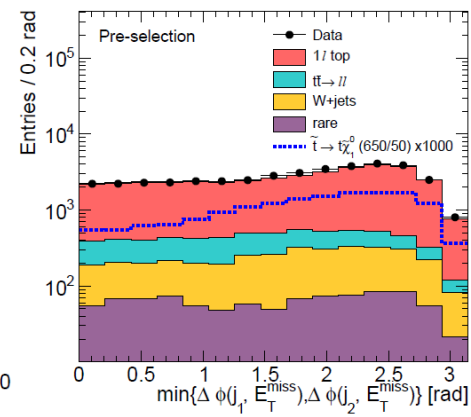
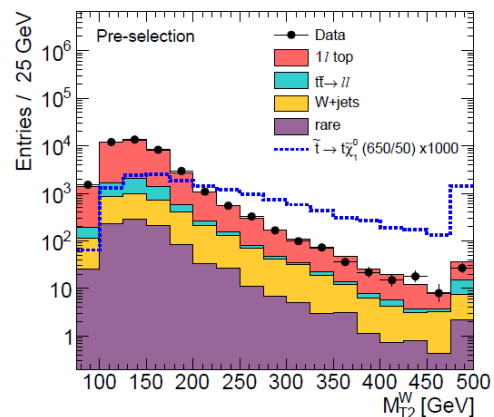
BDT (multivariate discriminant)を用いてsignalをenhanceする。

使用する変数

- MET
- HTratio
- M_{T2}^W
- Hadronic top χ^2 or leading b-jet p_T
- $\min \Delta\phi(\text{MET vs. 2 leading jets})$

$$\chi^2 = \frac{(M_{j_1 j_2 j_3} - M_{\text{top}})^2}{\sigma_{j_1 j_2 j_3}^2} + \frac{(M_{j_1 j_2} - M_W)^2}{\sigma_{j_1 j_2}^2}$$

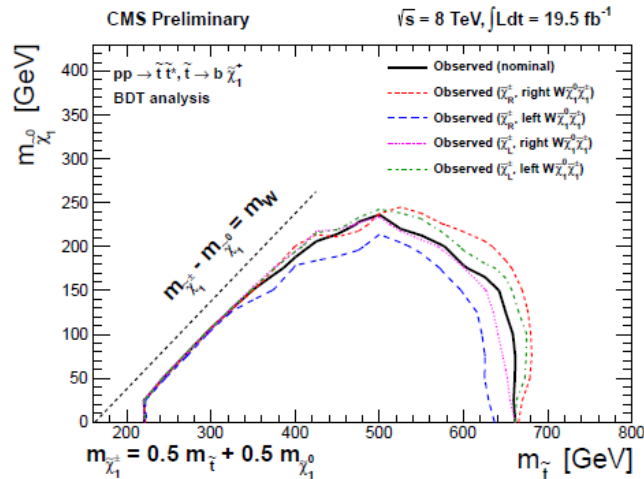
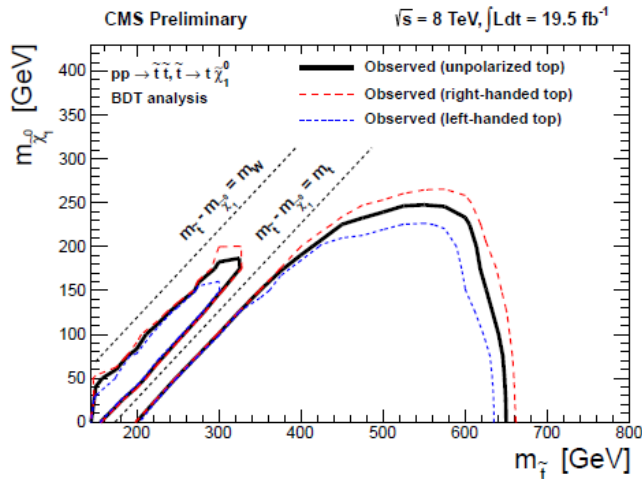
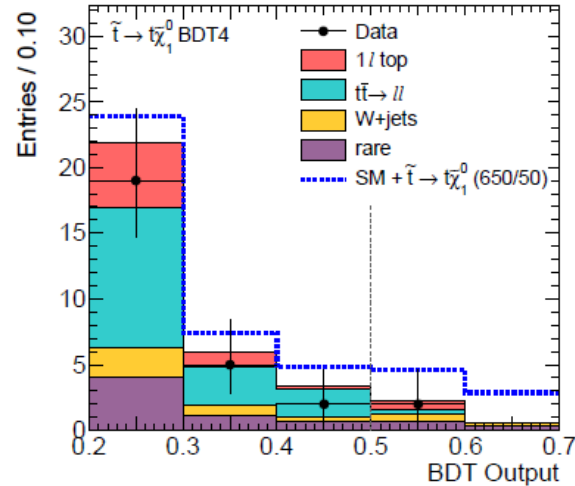
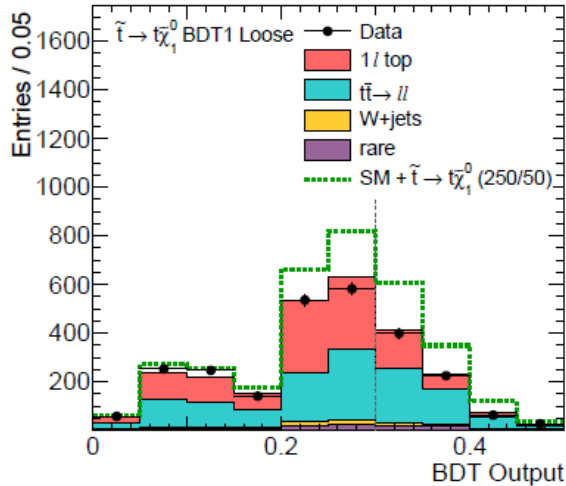
$$M_{T2}^W = \text{minimum} \left\{ m_y \text{ consistent with: } \left[\begin{array}{l} \vec{p}_1^T + \vec{p}_2^T = \vec{E}_T^{\text{miss}}, p_1^2 = 0, (p_1 + p_l)^2 = p_2^2 = M_{W'}^2 \\ (p_1 + p_l + p_{b_1})^2 = (p_2 + p_{b_2})^2 = m_y^2 \end{array} \right] \right\}$$



BDTに使用した変数の分布

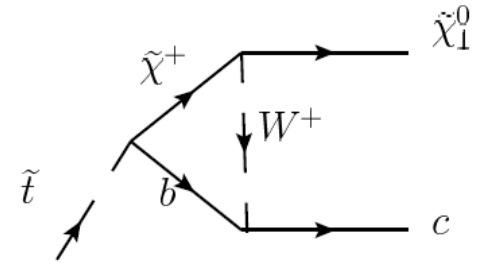
Stop 1-lepton Analysis

• BDT results



Stop \rightarrow Charm+LSP

- もし $m(\tilde{t}) - m(\tilde{\chi}_1^0) < m(W) + m(b)$ なら、
 $\text{stop} \rightarrow c + \tilde{\chi}_1^0$ が主な decay process になりえる。 \rightarrow
 $\text{stop pair production}$ からの $c + \text{LSP}$ への decay を探索



Monojet-like selection

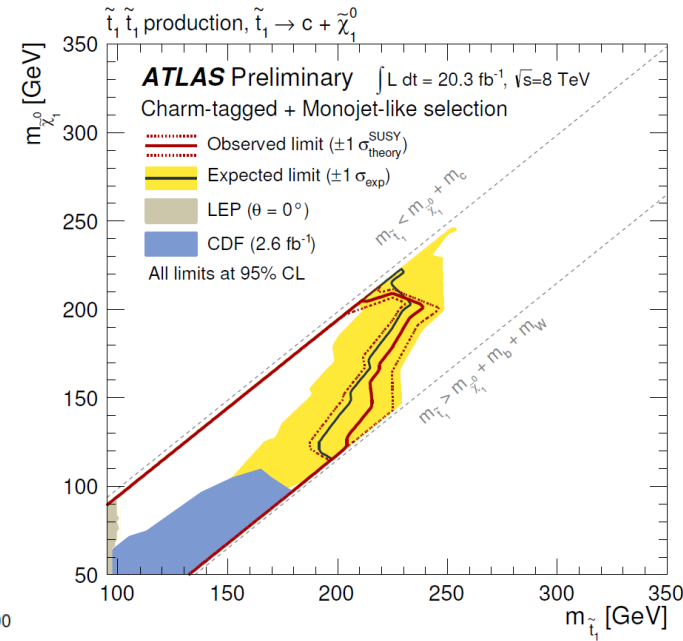
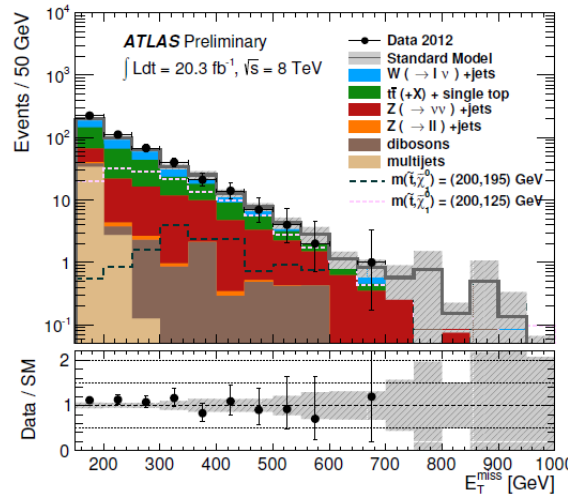
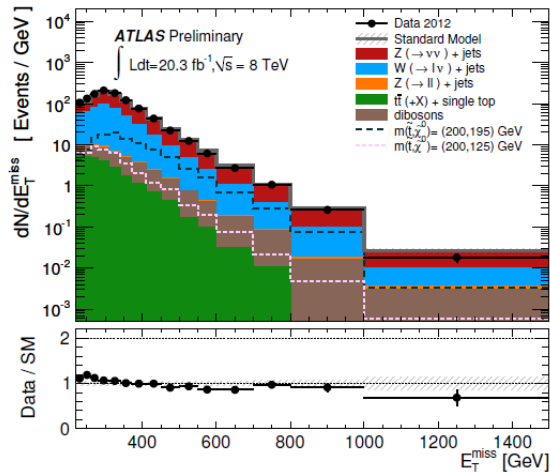
- At most 3 jets $p_T > 30$ GeV
- $\Delta\phi(\text{jet}, \text{MET}) > 0.4$
- leading jet $p_T > 280$ GeV
- MET > 220 GeV

Charm-tagged selection

- At least 4 jets $p_T > 30$ GeV
- b-veto to 2nd, 3rd jets
- c-tag to 4th jet
- $\Delta\phi(\text{jet}, \text{MET}) > 0.4$
- leading jet $p_T > 270$ GeV
- MET > 410 GeV

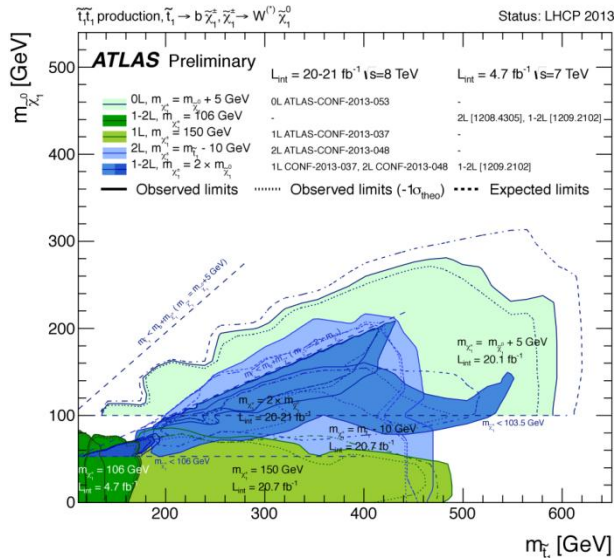
Charm tagging

- $\sim 20\%$ efficiency to c-jets
- ~ 5 rejection to b-jets and ~ 140 rejection to light jets.

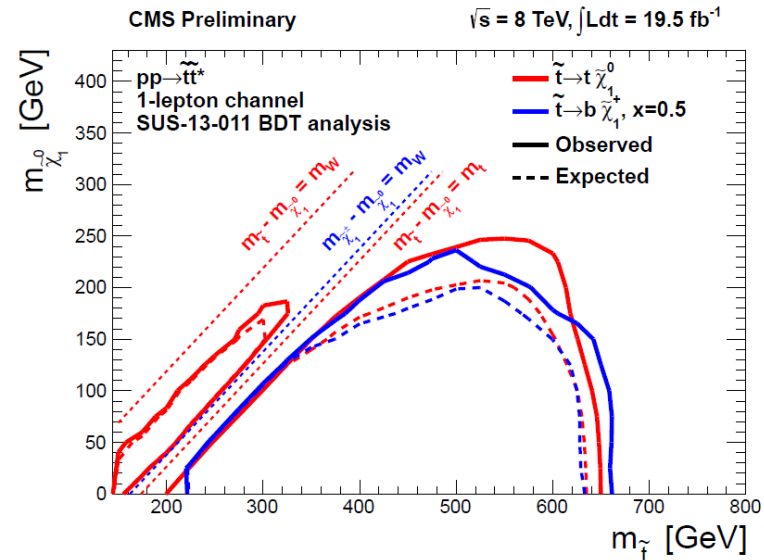
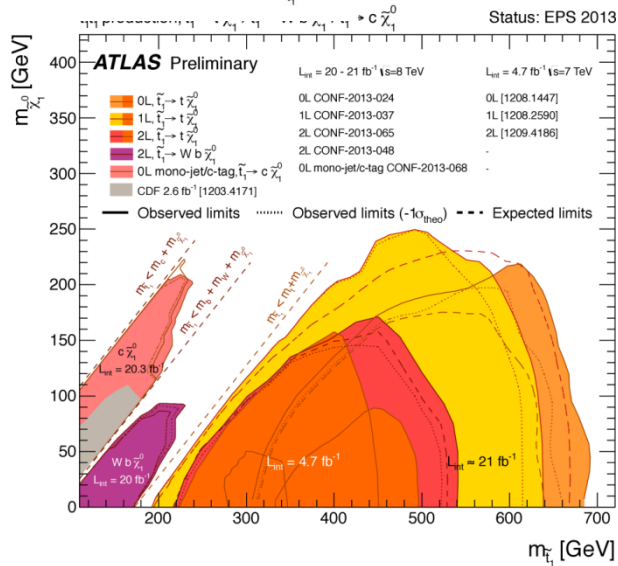




Summary of Stop Search

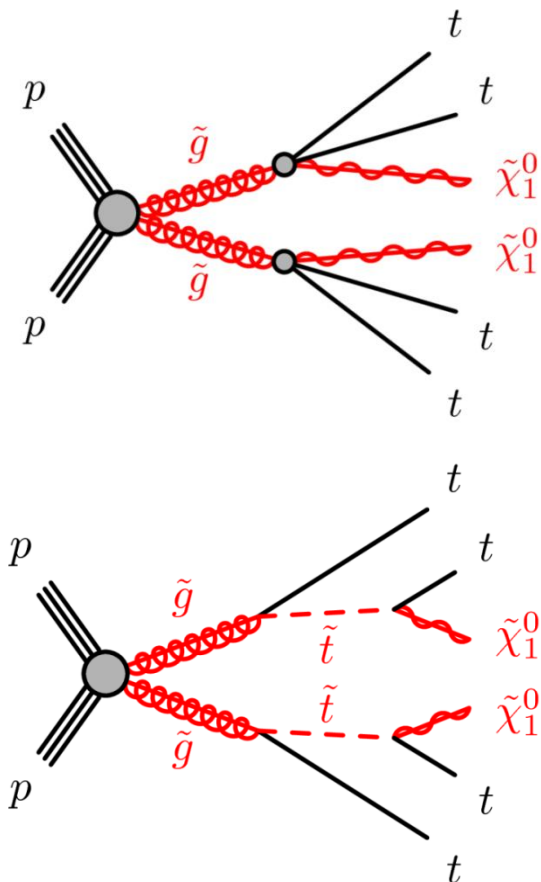


- stop mass $\sim 650 \text{ GeV}$, neutralino mass $\sim 200 \text{ GeV}$ までの領域をほぼexclude
- Stop mass \sim neutralino mass の領域では S/N が悪く、まだ強い limit が付いていない



Gluino \rightarrow t+t+LSP

- Gluinoも軽ければ、gluino productionがdominant
- Stopが軽いため、stopへのdecayが優勢になる



2種類のmodelを探索

- stop mass \gg gluino massとして
gluino \rightarrow t+tbar+LSPの3体崩壊
- gluino mass > stop mass > neutralino massとして、gluinoからの1-step decay

終状態の多様さからさまざまなsignatureでの解析が可能

- 0-lepton, multi-jets (>6)
- 0/1-lepton, 3b-jets
- 2-lepton same sign, b-jets
- 3-lepton, b-jets

3b-jets 解析

- 3 b-jetsを要求することでttbar backgroundを抑制

0-lepton

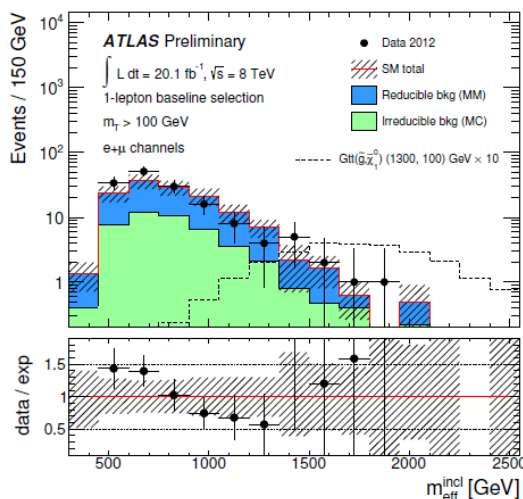
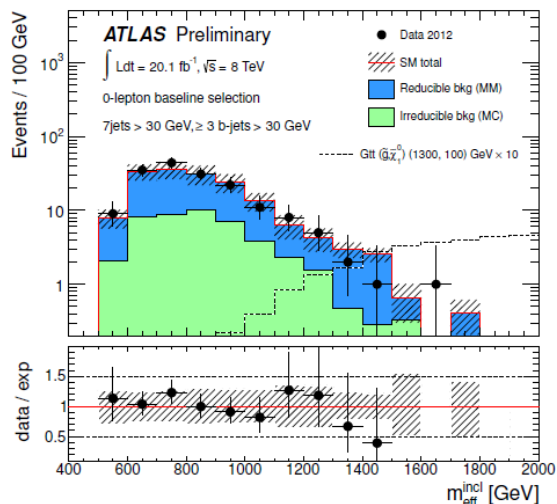
- At least 7 jets $p_T > 30$ GeV
- $MET > \{200, 350, 250\}$ GeV
- $m_{\text{eff}} > \{1000, 1000, 1500\}$ GeV

1-lepton

- At least 6 jets $p_T > 30$ GeV
- $MET > \{175, 225, 275\}$ GeV
- $m_T > \{140, 140, 160\}$ GeV
- $m_{\text{eff}} > \{700, 800, 900\}$ GeV

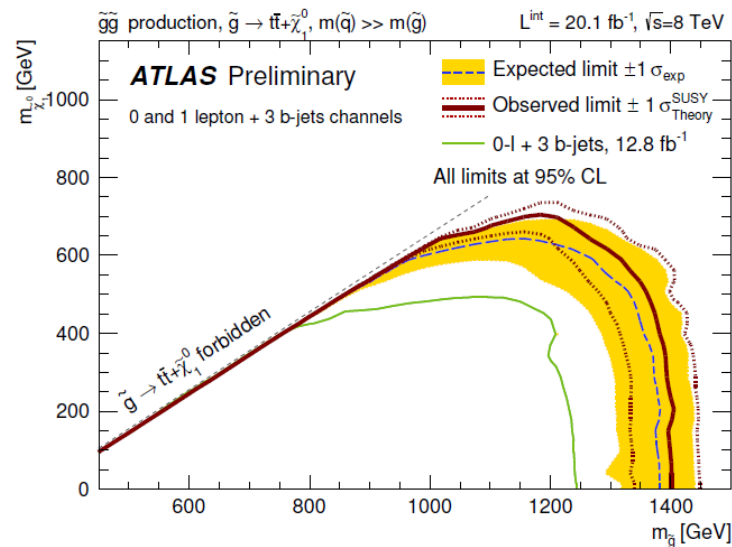
m_{eff} : pT sum of jets (and lepton pT)

$$m_T = \sqrt{2p_T E_T^{\text{miss}} (1 - \cos \Delta\phi(\ell, E_T^{\text{miss}}))}$$



0, 1-lepton channelの m_{eff} 分布.

- Reducible background (fake b-jet events)はdata-drivenに推定



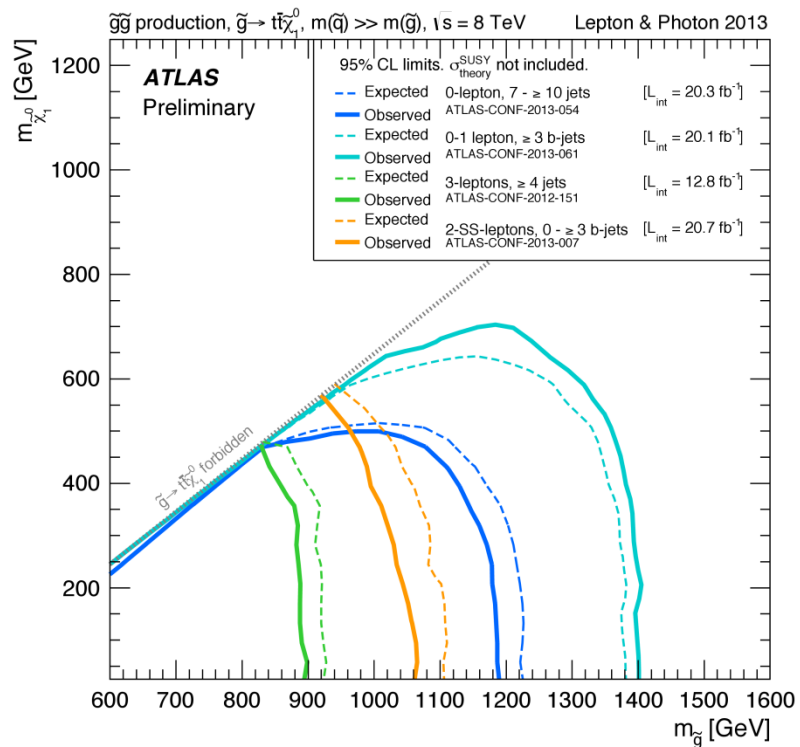
gluino, neutralino mass上での exclusion limit

- gluino production cross-sectionで limitされる領域までほぼexclude

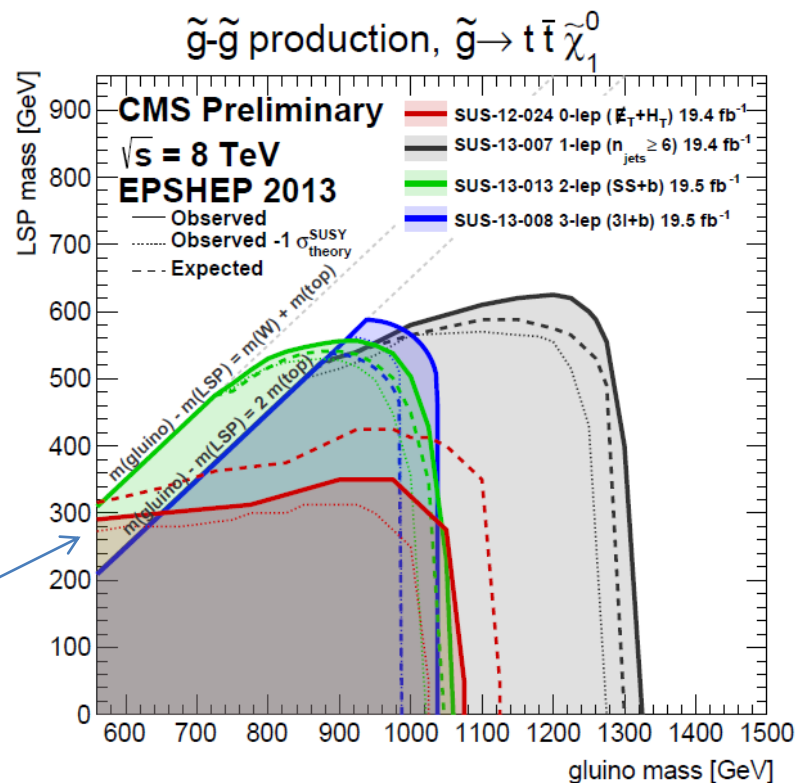


Glauino \rightarrow t+t+LSP まとめ

- gluino mass \sim 1400 GeV, neutralino mass = 600 GeVまでを exclude.
 - on-shell topを仮定すればsoftなkinematicsはあまりない。
 - CMSはoff-shell top decayまでextend



topのoff-shell decay
まで拡張

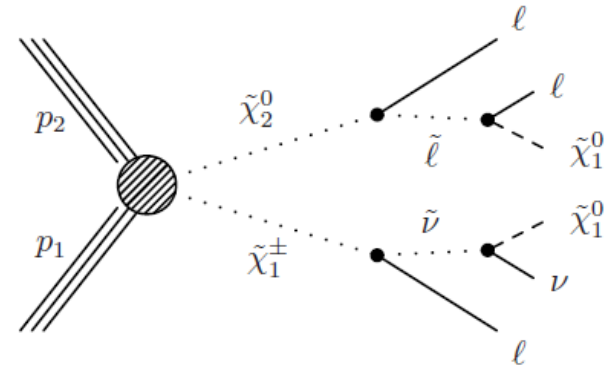


EW Production

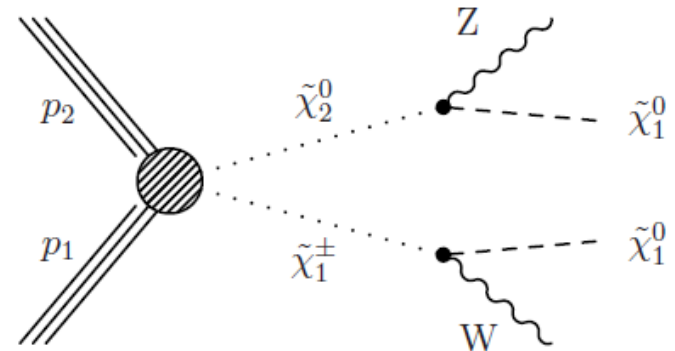
- Direct productionのcross sectionが小さいため、leptonを用いたcleanな環境で解析がmain
- Topology-baseで、
 - 2-lepton+MET (opposite sign/same sign)
 - 2-lepton+2-jets + MET
 - 2jets from W or Z hadronic decay
 - 3-lepton+MET, with or w/o Z mass veto
 - 4-lepton+MET

3-lepton Analysis

- Main backgroundがWZで、比較的cleanなchannel.
- Event selection
 - leading lepton (e,mu, hadronic tau) $p_T > 20$ GeV
 - other two lepton $p_T > 10$ GeV
 - Include opposite sign same flavor lepton pair
 - MET > 50 GeV
- Events are “binned” in
 - Mll [0, 75, 105, ∞] GeV
 - MET [50, 100, 150, 200, ∞] GeV
 - MT [0, 120, 160, 160] GeV



sleptonを介してのdecay



3-lepton Analysis

- Background estimation

- WZ

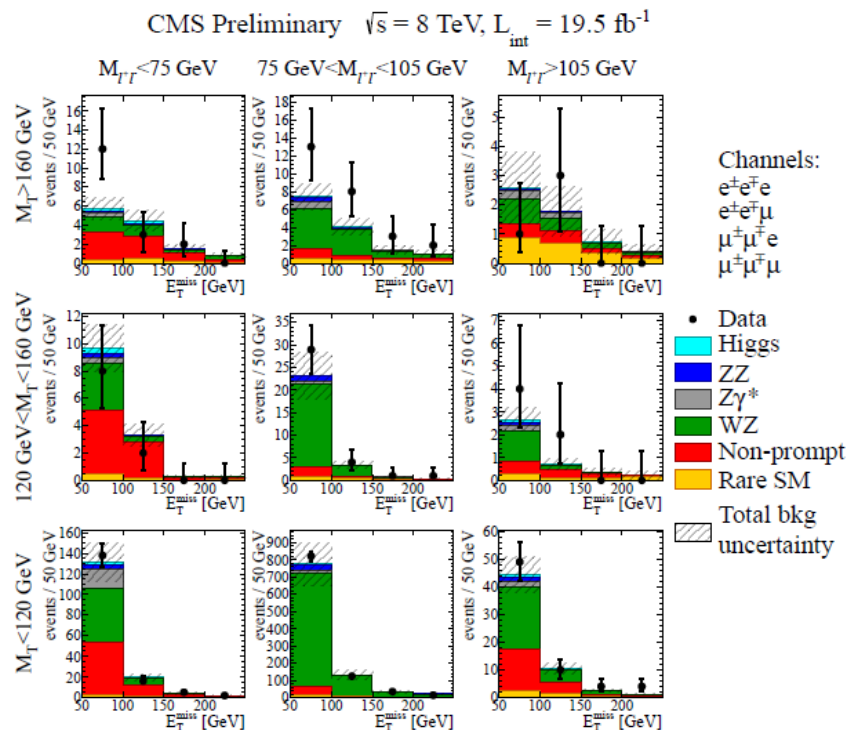
- MET resolutionがvertex数とHT (jet pt sum)で表されるとしてdataに一致するparameterを決定
 - MC sampleにMET resolutionのdegradationをかけて推定

$$p(E_T^{\text{miss}}) = \sum_{ij} W_{ij} \frac{E_T^{\text{miss}}}{\sigma_{ij}^2} e^{-E_T^{\text{miss}2}/2\sigma_{ij}^2}$$

- Fake lepton

- Fake-leptonがIsolationのselectionを通る確率をQCD dijet eventsで測定(その他Z+jets, ttbar eventsも使用)
 - 3-leptonの内1-leptonのisolation requirementを逆にしたeventsからsignal regionに残るeventsにfake rateをかけて推定

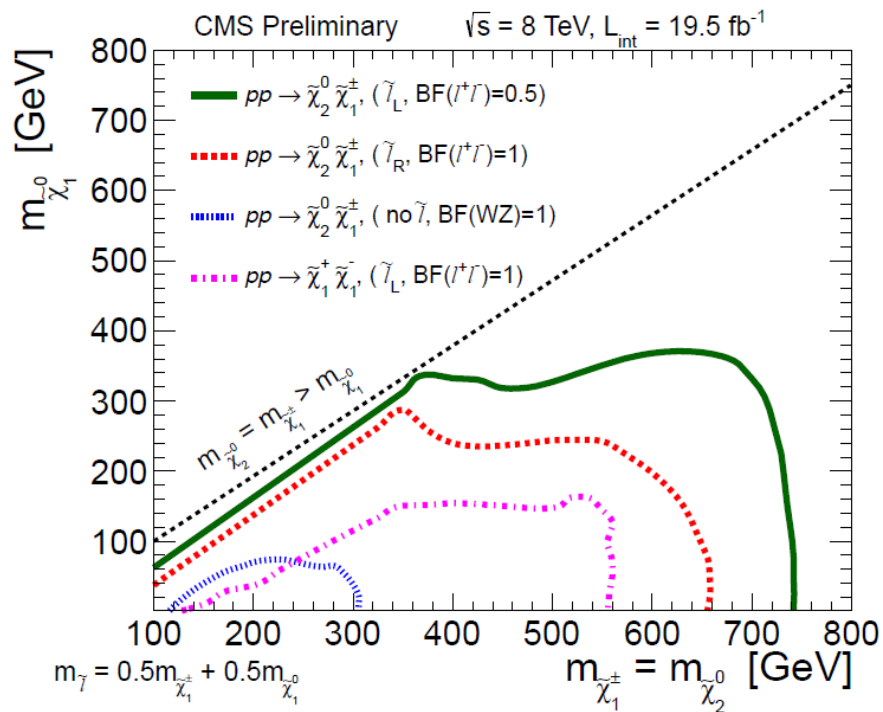
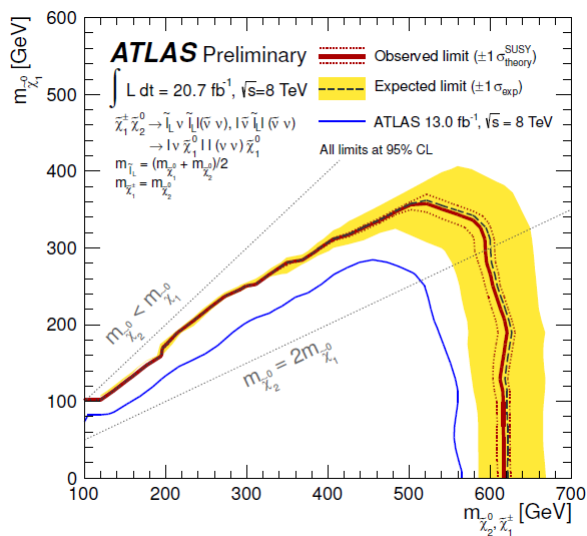
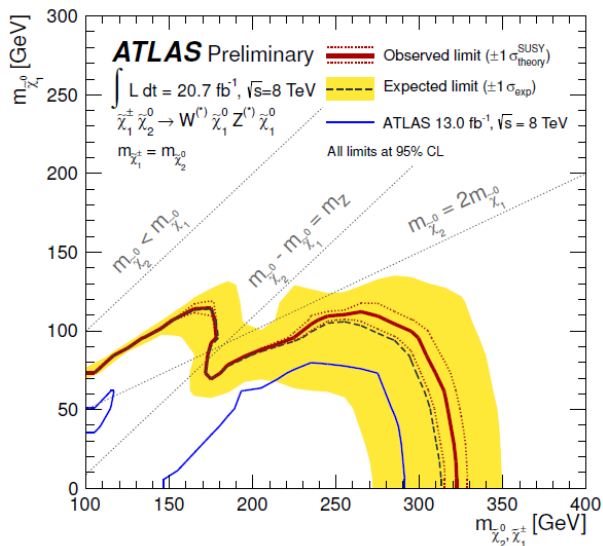
各MET, M_{ll}, MTのbinでのDataとestimationの比較



EW Productionまとめ

- 仮定するlepton BRによって、sensitivityが大きく変化

- 最もoptimisticな場合では $\sim\chi_{1+}$, $\sim\chi_{20}$ mass 740 GeVまでをexclude
- 逆に最もpessimistic (Wのleptonic decay) の場合には300 GeV程度のexclude



without MET Analysis

Long Lived Particle Search

Motivation

- AMSB Wino LSP
- GMSB stau NLSP
- GMSB neutralino NLSP ($\rightarrow \gamma + \tilde{G}$)
- Split SUSY gluino \rightarrow R-hadron
- R-parity violation (RPV)

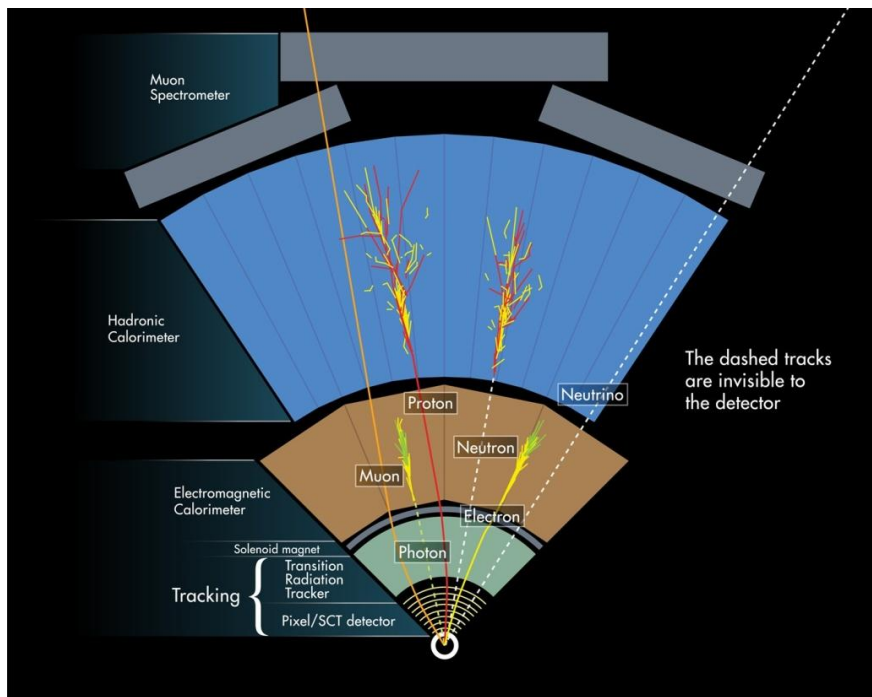
探索方法

- Heavy stable charged particle (stau, R-hadron)
- Decay in flight (AMSB wino, RPV)
 - Kink/disappearing track
 - Displaced vertex
 - Non-pointing photon
- Stopped particle

Detector Layout

CT 0.1mm 1 cm 10 cm 1 m →

	Displaced vertex	dE/dx in Pixel	Kink/disappearing track	Time of flight in Calorimeter	Time of flight in Muon Spectrometer	Stopped in detector
RPV	○		○(?)			
AMSB		○(?)	○			
Stau		○	○	○	○	
R-hadron		○		○	△	○



	ATLAS	CMS
Vertex	0.1 mm	0.1 mm
Pixel (dE/dx)	5-10 cm	5-100 cm
TRT	50-100 cm	No
HCal	2-4 m	1.5-2.5 m
Muon	5-10 m	4-6 m

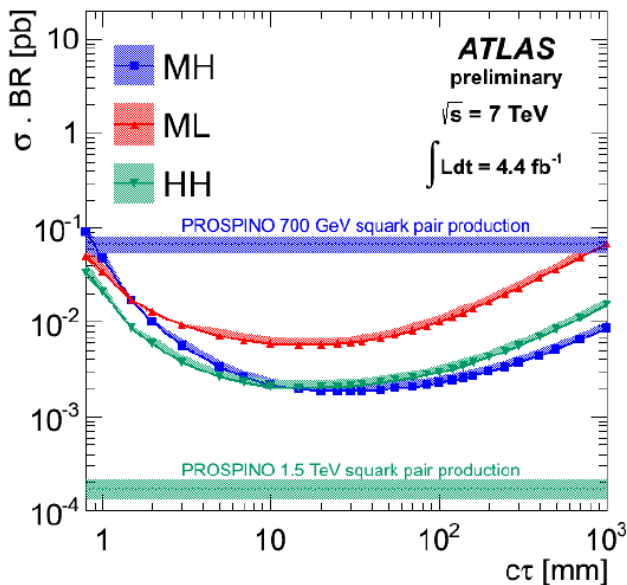
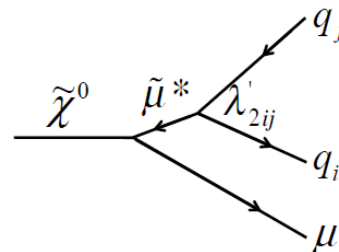
TRT: Transition Radiation Tracker

Heavy Stable Particle

- β 、 $\beta\gamma$ 、momentumを使い、 $m=p/\beta\gamma$ から質量を求める
- 2種類の解析方法
 - Inner Detector - Calorimeter
 - Calorimeter cell timeから β を、Inner detectorでのenergy lossから $\beta\gamma$ 、Inner detectorでmomentumを測定
 - R-hadronの場合、detectorと相互作用してchargeが変わる可能性があるため、Muon spectrometerを必要としないこの方法が取られる
 - Inner Detector - Muon Spectrometer
 - Muon spectrometer hitsとcalorimeter cell timeから β を、Inner detectorでのenergy lossから $\beta\gamma$ を、Inner detectorとMuon spectrometerをcombineしてmomentumを測定
 - sleptonの場合にこの方法が可能

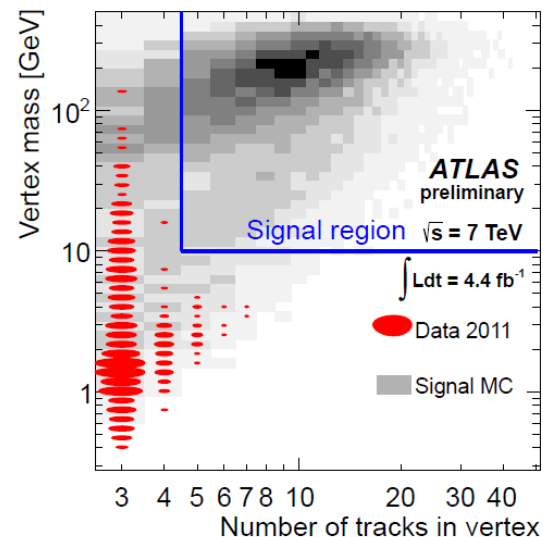
Displaced Vertex

- Primary vertexから数mm～数10cm離れたvertexを探索
- Pileupと区別するため、muonがあるvertexについてのみ探索を行っている
 - 主なbackgroundはmis-reconstruction、残留ガスとのhadronic interaction.



RPV modelでのexclusion limit

残留ガスからのbackgroundの場合、vertex massが小さくなるため、signalと分離可能

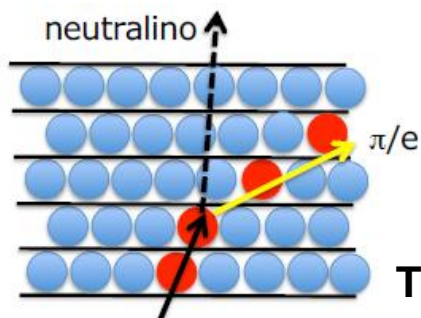


Sample	$m_{\tilde{q}}$ [GeV]	σ [fb]	$m_{\tilde{\chi}_1^0}$ [GeV]	$\langle\gamma\beta\rangle_{\tilde{\chi}_1^0}$	$c\tau_{MC}$ [mm]	\mathcal{L}'_{211}
MH	700	66.4	494	1.0	78	3.0×10^{-6}
ML	700	66.4	108	3.1	101	1.5×10^{-5}
HH	1500	0.2	494	1.9	82	1.5×10^{-5}

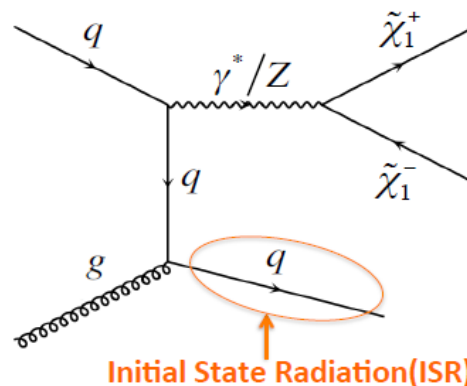
RPV bench mark modelのparameter

Disappearing Track

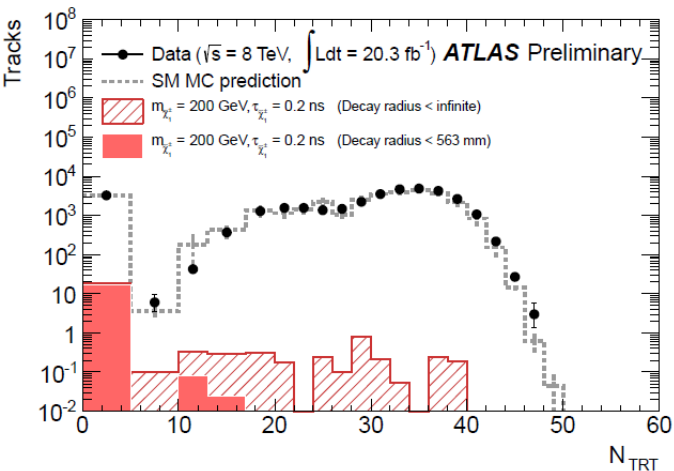
- Anomaly Mediated SUSY Braking (AMSB) model
 - Mass of Bino:Wino:Gluino $\sim 3:1:8$
 - NLSP,LSP \rightarrow wino-like, $\Delta m(\tilde{\chi}_1^+ - \tilde{\chi}_1^0) \sim 150$ MeV \rightarrow charginoの寿命は $\sim 0.1-1$ ns \rightarrow O(1-10) cm



連続飛跡検出器であるTRTを使うことで Disappearing trackとして観測される
TRTでの模式図



EventをtriggerするためISR-jetを利用

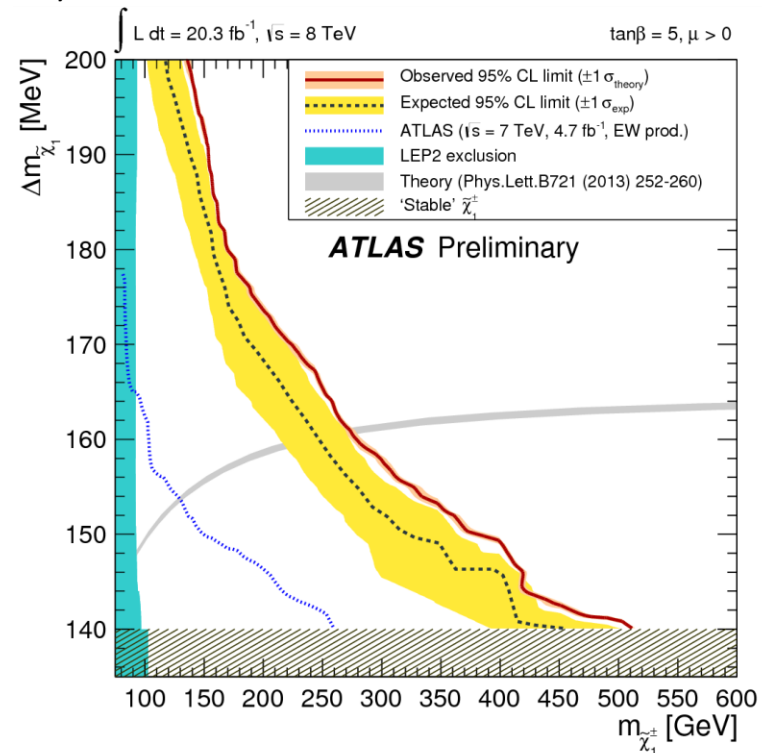
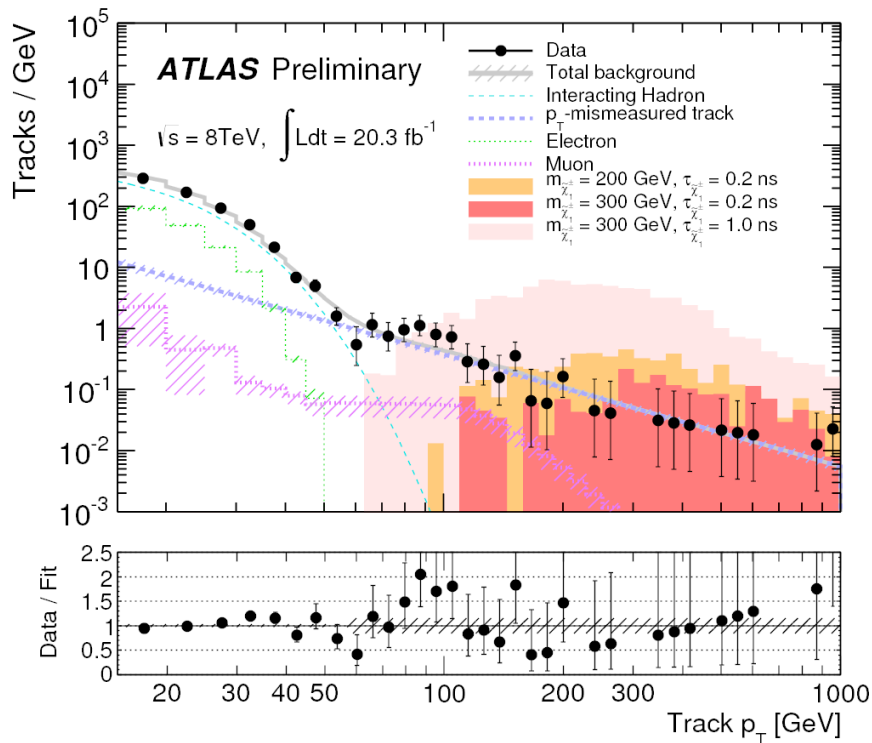


\leftarrow TRT hit数の分布 $N_{\text{TRT}} < 5$ を要求することでsignalをenhance

- Lepton veto
- Leading jet $p_T > 90$ GeV
- MET > 90 GeV
- $\min \Delta \phi(\text{jet}, \text{MET}) > 1.5$
- High pt track
- Disappearing track

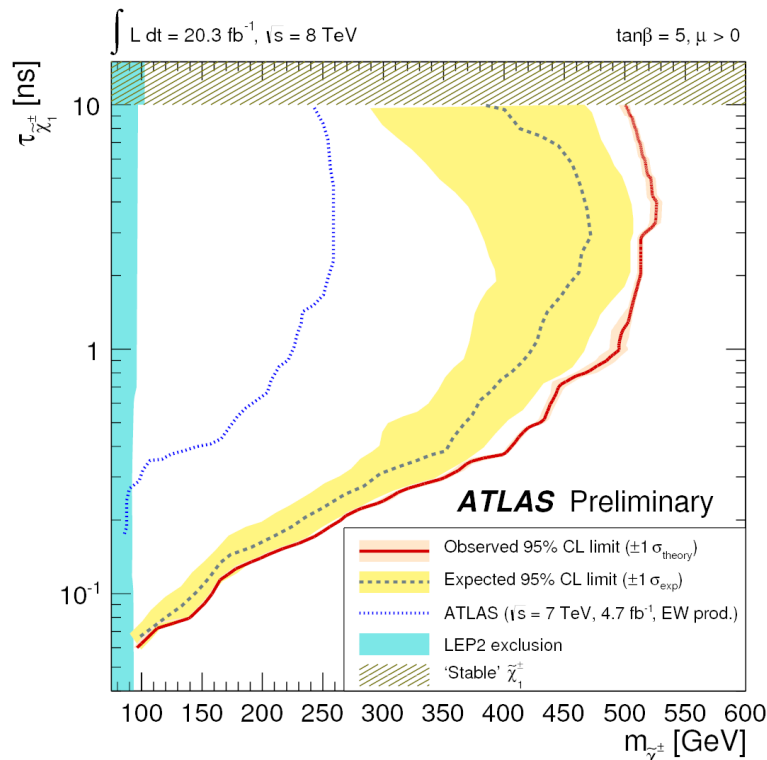
8 TeVでの解析結果

- Track pt spectrumをbackgroundとsignalのshapeを使ってfit
 - 主なbackgroundはfaketrackとhadron track
- AMSBから予測される高いtrack pt regionには有意はexcessはなし
 - pure AMSBを考えた場合、 $m(\text{chargino}) < 270 \text{ GeV}$ をexclude

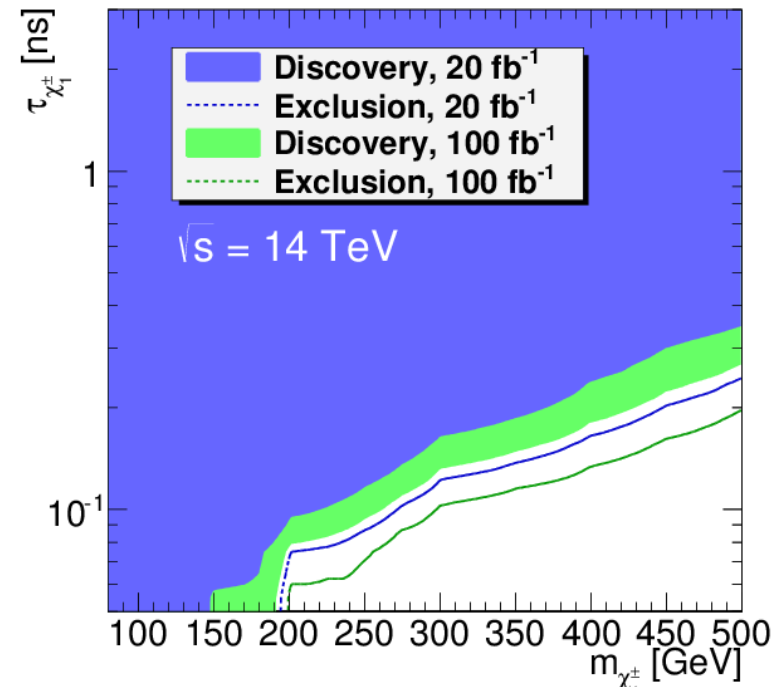


Expectation for 14 TeV

- $\Delta m = 160$ MeVはlife time ~ 0.2 nsに相当
- 14 TeVではchargino mass 500 GeV程度までdiscovery/exclusion potentialがあると推定



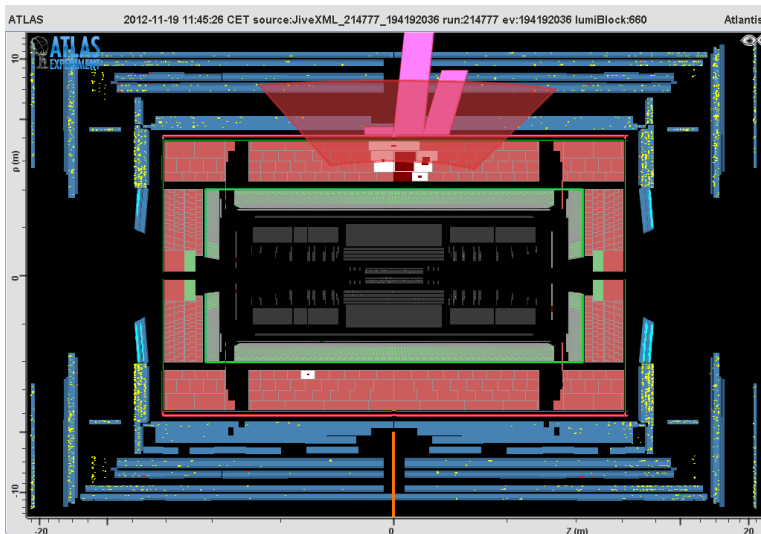
chargino mass vs. life timeでの
exclusion limit at 8 TeV



chargino mass vs. life timeでの
discovery (5σ) reachとexclusion limit
のexpectation at 14 TeV

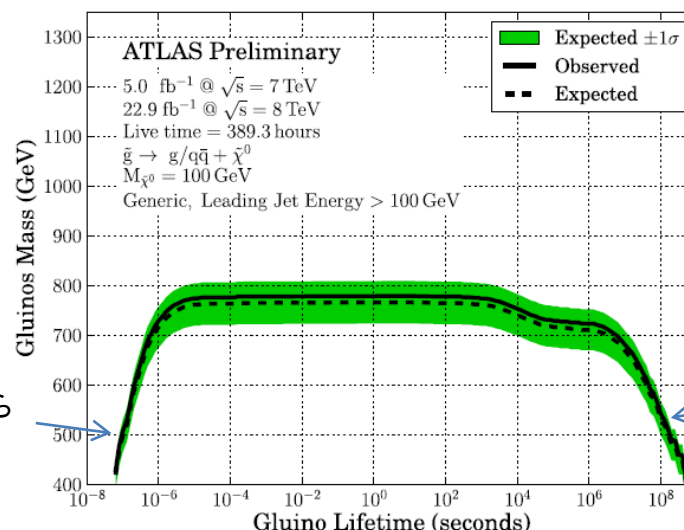
Stopped Particle

- $\beta \ll 1$ の R-hadron が energy を失って、検出器内で止まり、しばらくしてから decay する信号を探索
- Collision background を減らすため empty bunch で trigger
 - empty bunch を使うことで、proton/bunch $< 10^8$ (filled bunch では 10^{11})
- 主な background は宇宙線と Beam halo



2012年にATLASで検出されたsignal candidate event

短寿命側は bunch 間隔から決まり、 $\sim 10^{-7}$ sec から。



長寿命側は data taking period から決まり、 \sim 年

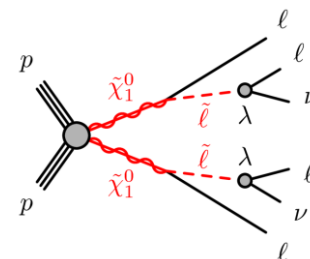
Gluino mass と lifetime に対する exclusion limit

Other Exotic Signature

- RPVの場合、LSPによる消失エネルギーがないため、代わりに特殊な終状態を利用して探索

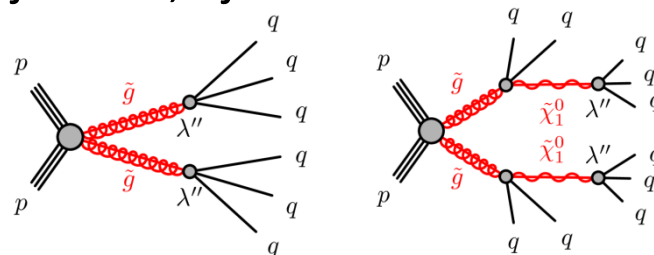
- multi-leptons

- neutralinoのdecayからの4-lepton+MET
(この場合METあり)



- multi-jets

- $\sim g$ pair productionからのdecay \rightarrow 3jets \times 2, 5jets \times 2

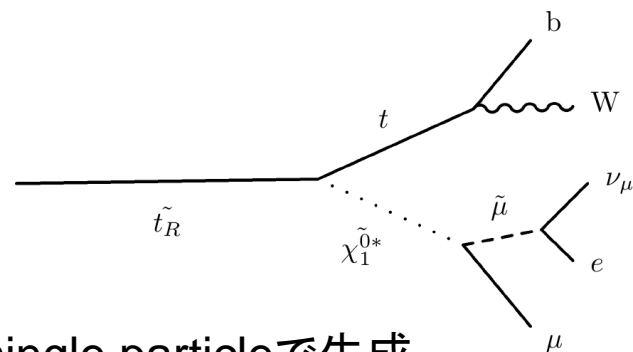


- resonance

- RPVならsingle particle productionが可能になるため、終状態の粒子でmassを組むことで元のSUSY粒子のmassを再構成可能

RPV Stop

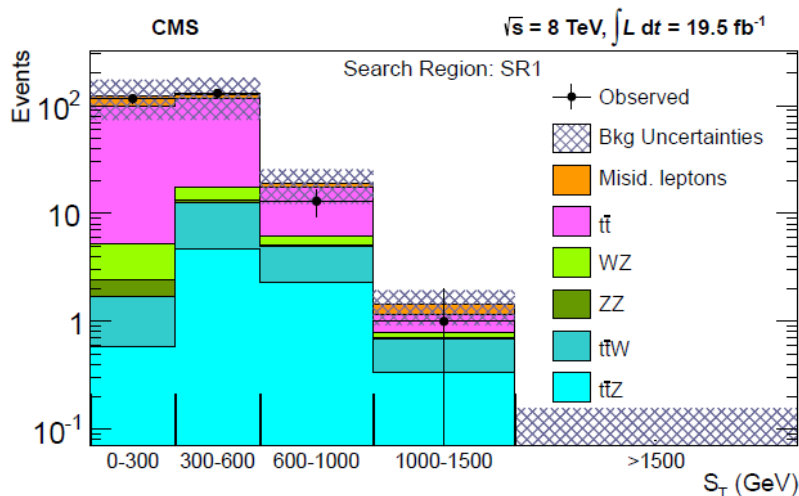
- RPVであることにより、naturalnessの条件が緩くなる
- またMET based searchでstopが発見出来ていなかった可能性を考慮



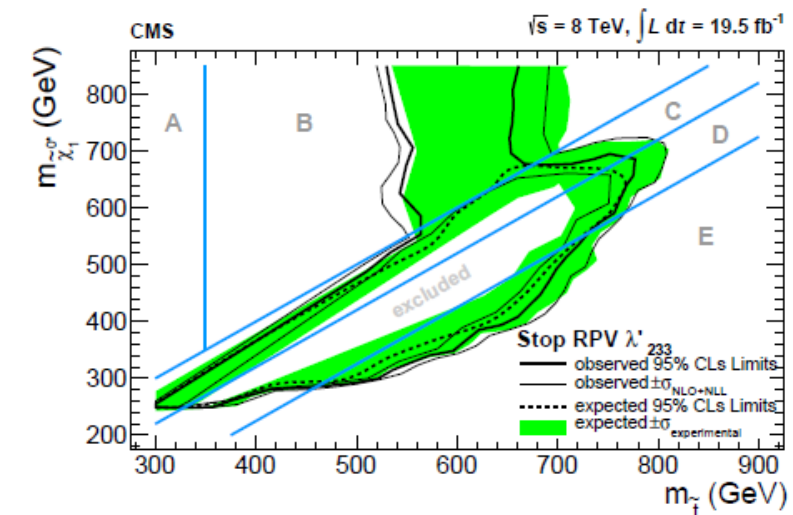
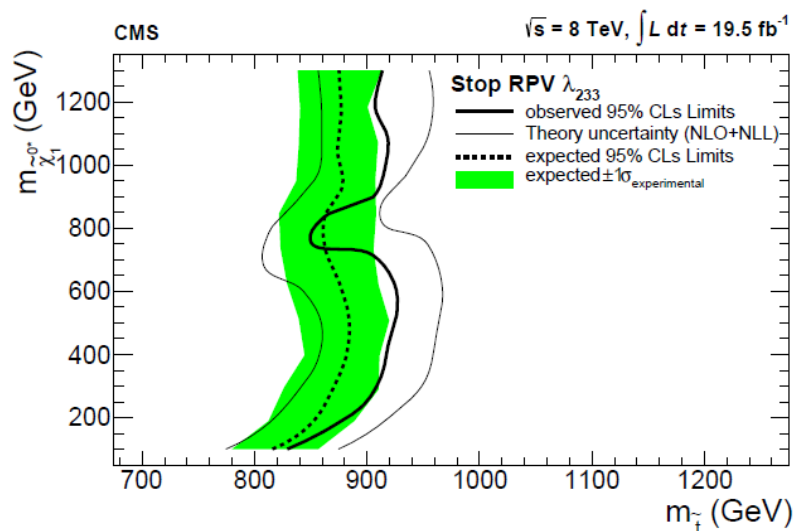
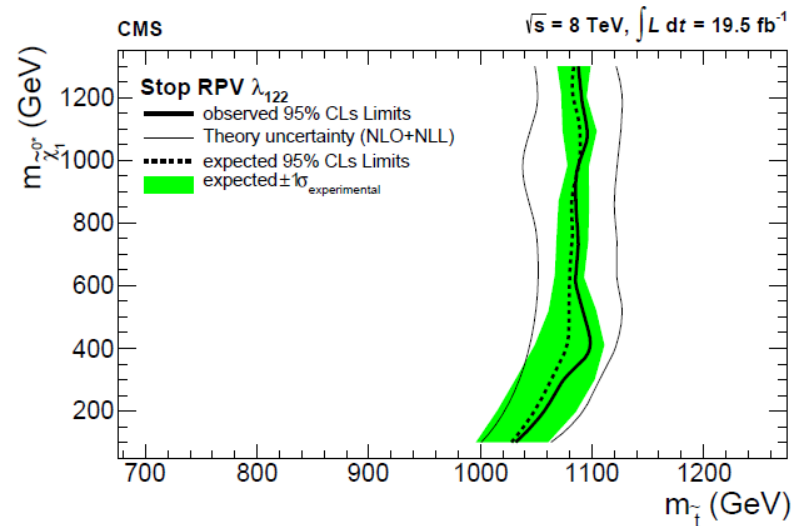
- single particleで生成
- LSPがunstableでSM particlesに崩壊

Event selection

- 3-lepton以上(tauを含む)
- S_T (MET, jet pT, lepton pTの scalar sum)を用いてsignalをenhance



RPV Stop Result



stop mass vs. neutralino
mass \mathcal{D} exclusion limit

$$W_{\text{RPV}} = \frac{1}{2} \lambda_{ijk} L_i L_j \bar{E}_k + \lambda'_{ijk} L_i Q_j \bar{D}_k + \frac{1}{2} \lambda''_{ijk} \bar{U}_i \bar{D}_j \bar{D}_k$$

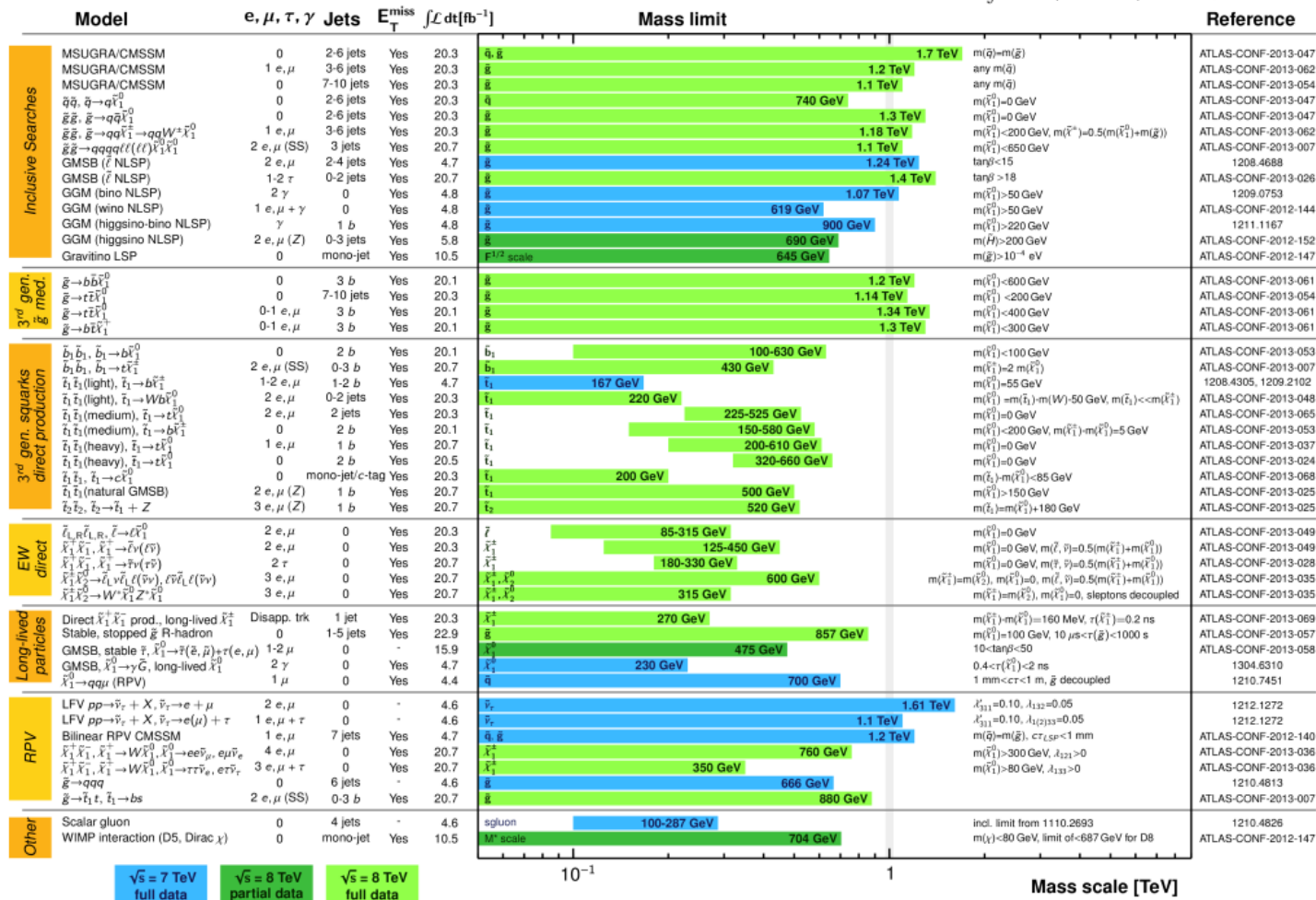
Summary of 8 TeV Analysis

ATLAS SUSY Searches* - 95% CL Lower Limits

Status: EPS 2013

ATLAS Preliminary

$$\int \mathcal{L} dt = (4.4 - 22.9) \text{ fb}^{-1} \quad \sqrt{s} = 7, 8 \text{ TeV}$$



*Only a selection of the available mass limits on new states or phenomena is shown. All limits quoted are observed minus 1 σ theoretical signal cross section uncertainty.

$\sqrt{s}=14$ TeVでの展望

Plan for 14 TeV LHC

- 13-14 TeVでのLHC運転
 - bunch spacing 50 ns \rightarrow 25 ns
 - peak luminosity $2-3 \times 10^{34} \text{ cm}^{-2}\text{s}^{-1}$ 、1回のビーム衝突時の平均反応回数 $\mu \sim 69$
- 2020年までに 300 fb^{-1} (Phase-I)
- High Luminosity LHCで 3000 fb^{-1} (Phase-II)
 - $L = 5 \times 10^{34} \text{ cm}^{-2}\text{s}^{-1}$, $\mu \sim 140$
- PDFによる high mass particle の cross section の増加
- 一方で pileup による resolution の悪化など

Trigger@14 TeV

- High massのSUSY探索では $v_s=14$ TeVでのtrigger thresholdの上昇による影響はほとんどない
- ただし、縮退したmodelやMETなしの解析では無視できない影響
 - 現在、調査中

$L=2 \times 10^{34} \text{ cm}^{-2}\text{s}^{-1}$ でのtrigger thresholdの予測値

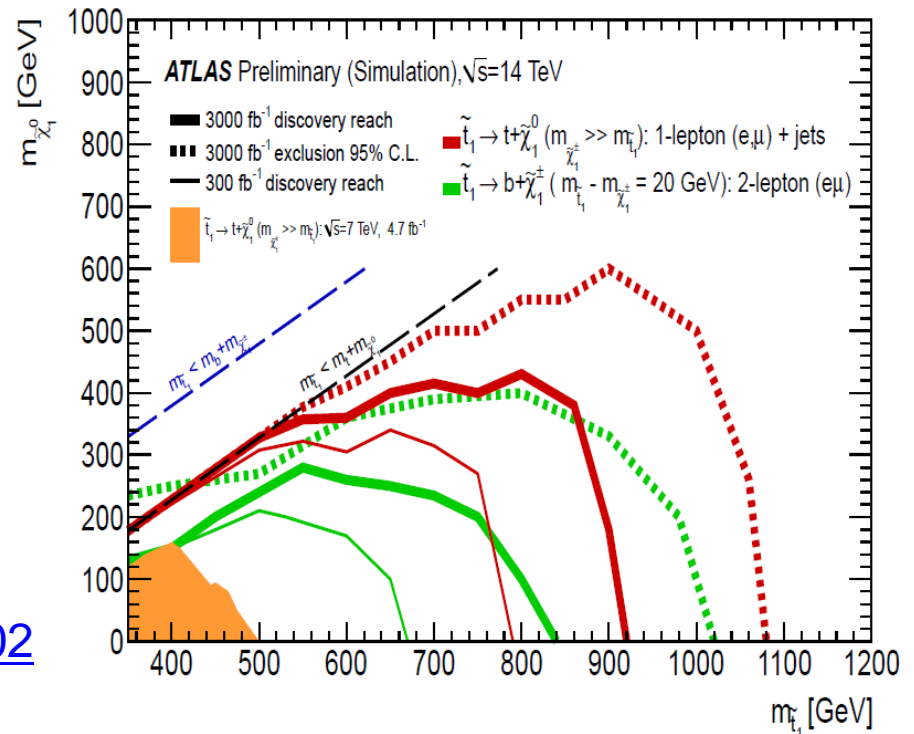
	L1 threshold	Offline threshold
single electron (pT)	28 GeV	33 GeV
single muon (pT)	20 GeV	25 GeV
single jet (pT)	100 GeV	250 GeV
pure ETmiss	60 GeV	190 GeV

Stop Search@14 TeV

- Event selection (for t+LSP)
 - 1-lepton (electron or muon)
 $p_T > 25$ GeV
 - 4 jets $p_T > 120, 100, 50, 50$ GeV
 - At least one b-tagged jet $p_T > 40$ GeV
 - $E_T^{\text{miss}} > 225$ GeV
 - $m_T(\text{lepton}, E_T^{\text{miss}}) > 140$ GeV
 - Optimum 1st, 2nd jet p_T , E_T^{miss} , $E_T^{\text{miss}}/\sqrt{H_T}$, m_T cuts for each signal point

[ATL-PHYS-PUB-2013-002](#)

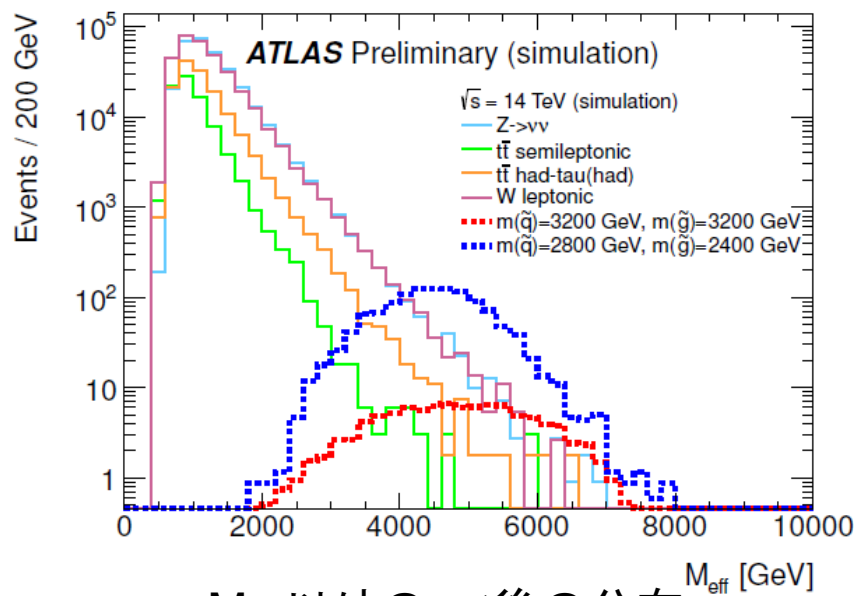
300 fb⁻¹ではstop→t+LSPの場合、stop mass 800 GeV (LSP mass ~0 GeVのとき) まで発見の可能性あり



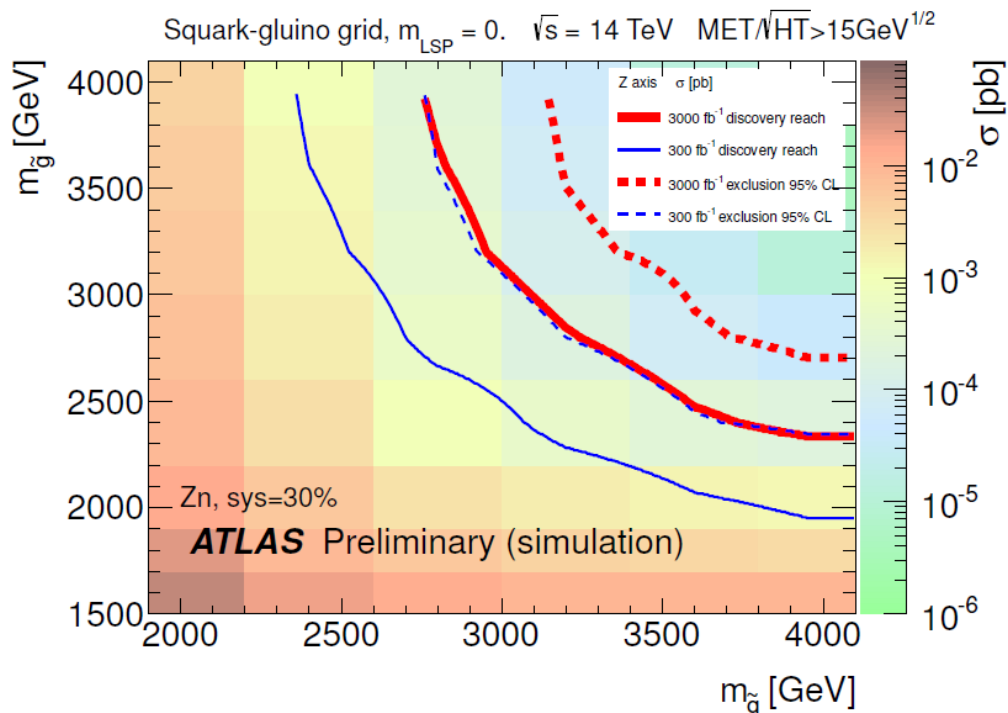
Squark, Gluino Search@14 TeV

- $\sqrt{s}=14$ TeVでの発見感度の予測
- Event selection
 - No electron or muon ($p_T > 20$ GeV)
 - At least 4 jets $p_T > 60$ GeV
 - $E_T^{\text{miss}}/\sqrt{H_T} > 15$ GeV^{1/2}
 - Optimum M_{eff} ($E_T^{\text{miss}} + H_T$) cut for

300 fb⁻¹ではsquark mass 2.4 TeV, gluino mass 2 TeV程度まで発見の可能性あり



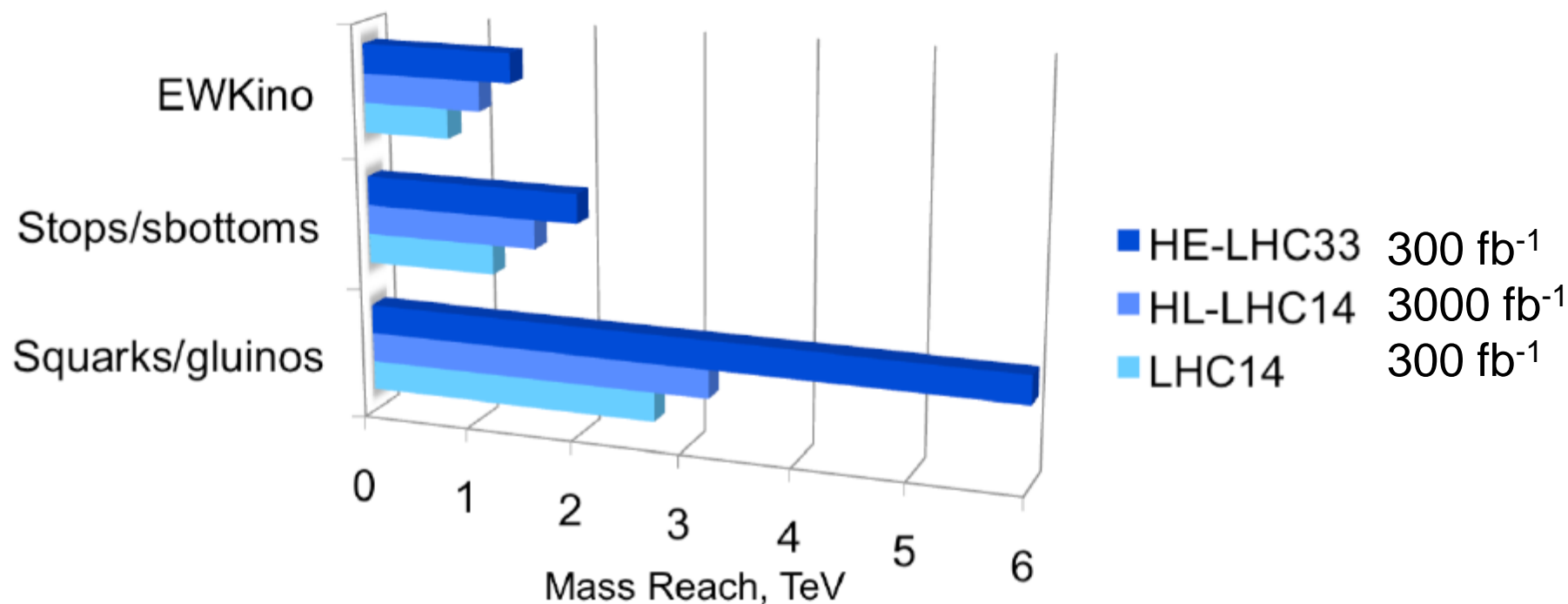
M_{eff} 以外のcut後の分布



Simplified modelでの予測感度

CMS 14 TeV Expectation

- 現在の探索結果から外挿した予測値
– おおよそATLASと同程度の感度

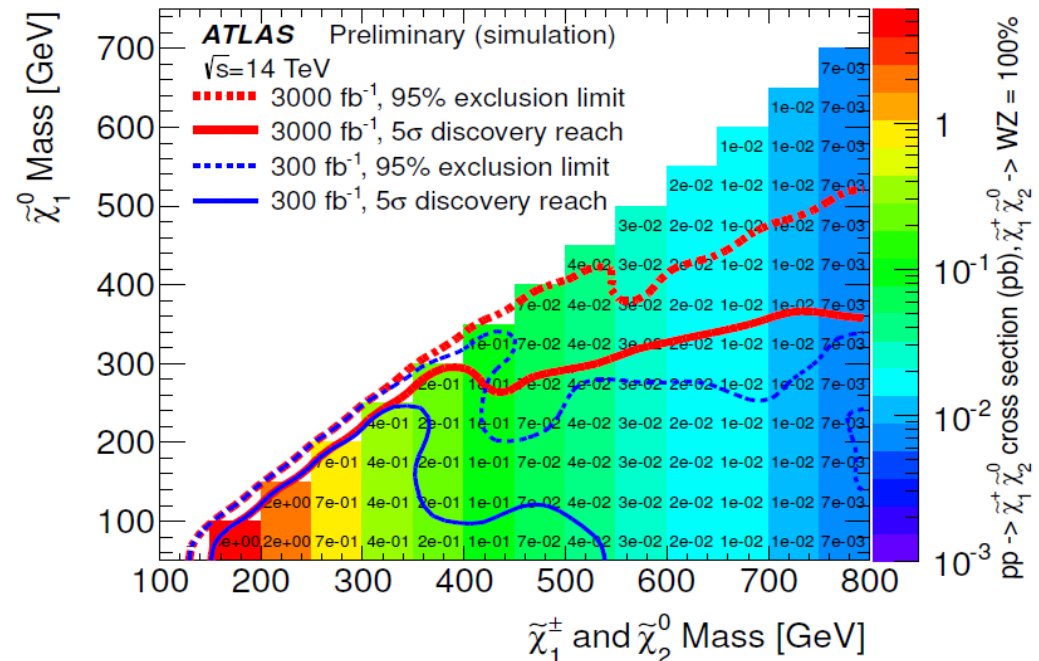


[CMS Submission to the European Strategy Preparatory Group](#)

EW Gaugino Search@14 TeV

- $\sqrt{s}=14$ TeVでのEW gauginoの発見感度
- Event selection
 - 3 lepton $p_T > 10$ GeV, at least one lepton $p_T > \text{GeV}$
 - no b-jet
 - same flavor, opposite sign lepton pair mass > 20 GeV
 - $E_T^{\text{miss}} > 150$ GeV
 - Multivariate of E_T^{miss} , m_T , lepton p_T , m_{ll} , $p_T(l_l)$, $\Sigma p_T(\text{jet})$

300 fb⁻¹ではneutralino2, chargino mass 540 GeV (LSP mass ~50 GeV のとき) まで発見の可能性あり



Summary

- LHC $\sqrt{s}=8$ TeVでのSUSY探索においてその兆候はなし
- Higgs 126 GeVを考えると軽いSUSYは難しそう
 - 何かおまげが必要
 - Naturalness (large $|A|$ term): light stop
 - Gaugino sector
- いずれにせよ、LHC $\sqrt{s}=14$ TeVでもこれまでの解析を踏まえてtopology baseに探索